

Jauregui (1971) presenta un panorama general del estado de los estudios al respecto hasta ese año, en la introducción a un trabajo sobre la evaluación del confort bioclimático en dos clínicas de la ciudad de México. Más recientemente, en 1984, se celebró una reunión sobre climatología urbana, convocada por la Organización Meteorológica Mundial, y en ella las contribuciones de Davis, De Carmona, Landsberg, Givoni y Nieuwolt, giraron en torno al tema del confort humano (WMO, 1986).

Otra aportación importante la constituye la Primera Reunión Nacional sobre Energía y Confort celebrada en mayo de 1988 en Mexicali (Univ. Aut. de Baja California, 1988), pues evidentemente la edificación, el confort y el consumo de energéticos están intimamente relacionados.

Si bien la discusión detallada del problema de la evaluación del confort humano escapa a los propósitos de este trabajo, vale la pena citar algunos comentarios antes de seguir adelante.

Tromp (1974) dice que los estímulos meteorológicos tienen efecto sobre el cuerpo humano principalmente a través de cinco canales: la piel, las vías respiratorias, la nariz, los ojos y por alteración directa al sistema nervioso. Esos estímulos (según el mismo autor) pueden ser térmicos, higrícos, por el viento, varias formas de radiación solar (principalmente ultravioleta), reducción o incremento de la presión parcial del oxígeno, cambios en la composición química o física del aire por contaminación, cambios en la acidez del vapor de agua atmosférico, ionización del aire, campos electrostáticos y electromagnéticos, ondas de sonido, olores, campos gravitatorios, campos magnéticos, viento solar y radiación cósmica. Los cuatro últimos, especialmente importantes en el espacio exterior.

Fanger y Jonassen (1974) especifican que, en términos de confort humano, del ambiente eléctrico atmosférico son importantes la intensidad del campo eléctrico, la corriente aire-tierra, la conductividad del aire, la concentración de aerosoles y de nucleos radiactivos.

En cuanto a los factores químicos (Wadden y Scheff, 1987) deben considerarse tanto las inmisiones del exterior como las emanaciones propias del espacio habitable (vivienda, oficina,



## **UNAM – Dirección General de Bibliotecas Tesis Digitales Restricciones de uso**

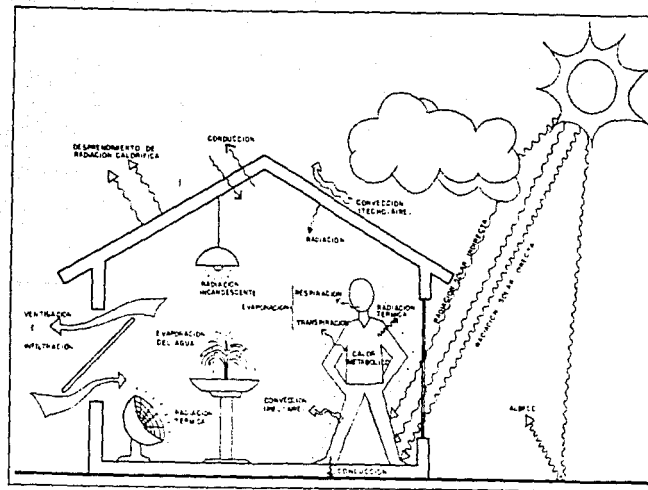
### **DERECHOS RESERVADOS © PROHIBIDA SU REPRODUCCIÓN TOTAL O PARCIAL**

Todo el material contenido en esta tesis está protegido por la Ley Federal del Derecho de Autor (LFDA) de los Estados Unidos Mexicanos (México).

El uso de imágenes, fragmentos de videos, y demás material que sea objeto de protección de los derechos de autor, será exclusivamente para fines educativos e informativos y deberá citar la fuente donde la obtuvo mencionando el autor o autores. Cualquier uso distinto como el lucro, reproducción, edición o modificación, será perseguido y sancionado por el respectivo titular de los Derechos de Autor.

taller, etc.), sobre todo de monóxido de carbono, óxidos de nitrógeno, humos de tabaco y estufas, asbestos, formaldehídos, polvos, radón, ozono, dióxido de carbono, compuestos orgánicos, gérmenes alergógenos y patógenos.

Lo mencionado en los dos puntos anteriores puede adquirir tal importancia, que independientemente de la salud de los habitantes o de las condiciones higrotermicas de la atmósfera, se llegue a una situación de franca incomodidad o insalubridad. No obstante, el confort higrotérmico por si mismo es un tema que merece atención aparte. Givoni (1974 A) afirma que una situación de stress térmico se detecta en la temperatura de la piel, la temperatura rectal, la razón de sudoración y el ritmo cardiaco, por lo que se relaciona directamente con el estado de salud de la persona. Sobre todo, en el caso de gente no sana adquiere particular relevancia lograr diseños arquitectónicos y urbanísticos que tiendan a mejorar las condiciones de confort térmico, además de las ya citadas implicaciones económicas que éste tiene en el uso y ahorro de energéticos.



**FIGURA 2.** Esquema de los componentes del balance de calor en el interior de una habitación, para una persona en actividad sedentaria. (Hernández, 1983).

También Givoni (1974 B) establece que las mujeres maduras son más sensibles a situaciones de incomodidad térmica que las mujeres jóvenes, o los varones ya sean jóvenes o maduros.

Así, una caracterización completa del confort climático requeriría de evaluar la temperatura, la humedad, la calidad del aire y, entre otros aspectos, el impacto del viento, la radiación solar, la lluvia y varios elementos de carácter fisiológico (Gregorczuk, 1968); o bien establecer un balance de calor a partir de la temperatura del aire, el calor metabólico desprendido por el ser humano bajo cierta actividad, la temperatura radiante de muros, pisos, y techos; la ventilación, la humedad, el abrigo de la persona, etc. más o menos como lo indica la Fig. 2. (Hernández, 1982; Fanger y Jonassen, 1974; Lowry, 1967).

Como un primer ensayo, en esta tesis solamente se incluyen tablas de valores horarios medios mensuales de temperatura, humedad relativa e índice de incomodidad (Tanenbaum and Sohar, 1960; Jáuregui y Soto, 1967), igual a la suma de la temperaturas de bulbo seco ( $T$ ) y húmedo ( $T_v$ ) en 22 localidades del estado de Veracruz.

Sin dejar de reconocer que existen gran variedad de índices climáticos, algunos de los cuales se describen a continuación como complemento a este punto.

a) La entalpia está considerada por el mismo Gregorczuk como altamente significativa pues sus unidades son kcal/kg, fácilmente comparables con las unidades del metabolismo: Kcal/kg/hora. Su expresión relativamente complicada dificulta su cálculo horario medio mensual, al depender de la presión atmosférica,  $p$ . La expresión de Boer (1964) es:

$$H = 0.24 T_v + 0.3732 \text{ es/p} \quad (1.1)$$

donde  $T_v$  está dada en  $^{\circ}\text{C}$ ,  $\text{es}$  es la presión de vapor de saturación y  $p$  la presión atmosférica, ambas en mm de Hg.

b) La temperatura efectiva (TE) que Thom (1959) define como:

$$\text{TE} = 0.4 (T + T_v) + 4.8 \quad (1.2)$$

El punto de mayor comodidad se encuentra cuando  $T + T_v = 48$ , es

diciendo, que  $TE = 24$ . También este autor es el introductor del concepto de días-grado para estimar necesidades de enfriamiento o calefacción artificial, que se calcula de la siguiente manera:

Si se considera que el intervalo de temperaturas propias de una situación de confort térmico va de  $T_a$  a  $T_b$  (comúnmente de 16 a 22°C en los países nórdicos), y  $T_d$  es la temperatura media diaria del día  $i$ , entonces los días-grado frío (DGF) de un periodo de  $n$  días, es:

$$DGF = \sum (T_d - T_b), i = 1, 2, \dots, n \text{ para todo } T_d < T_b \quad (1.3)$$

Los días-grado calor (DGC) serán:

$$DGC = \sum (T_d - T_b), i = 1, 2, \dots, n \text{ para todo } T_d > T_b \quad (1.4)$$

c) Beal (1974) considerando el viento, la radiación solar, el calor metabólico y las pérdidas de calor corporal por conducción, convección y radiación, establece un índice bastante completo (Windchill Index), principalmente útil para evaluar e incluso anticipar situaciones de frío extremo en el Canadá. (Véase también Givoni, 1974 A).

\* \* \*

Sin embargo, como ya se mencionó, para los países en vías de desarrollo una de las principales limitantes a la evaluación del confort climático es la falta de información suficiente. Es cierto que el Servicio Meteorológico ha colaborado grandemente al poner a la venta las Normales Climatológicas de casi ochocientas localidades del país (Ser. Met. Nal., 1982), que constituyen la base de cualquier análisis climático; pero sólo en el caso de los 56 observatorios meteorológicos ahí consignados hay datos de humedad media mensual, pues en el resto (más de setecientas estaciones climáticas) no se obtiene tal información.

Estas consideraciones son las que validan la importancia que pudiera tener este trabajo al proponer una metodología para calcular de humedad relativa media, máxima y mínima promedio mensual, así como la simulación de la variación horaria media mensual de algunos parámetros higrotérmicos a partir de las Normales Climatológicas, para los puntos ubicados en la Fig. 1.

En esta tesis se consideró que son fundamentales la

temperatura ambiente ( $T$ ), la temperatura de bulbo húmedo ( $T_w$ ) y la humedad relativa (HR), puesto que con ellas es posible obtener recomendaciones para el diseño arquitectónico y la planeación urbana con la ayuda del diagrama de Givoni o el de Olgay (Hernández y Mayer, 1984); o del cálculo de algún índice bioclimático, como el de incomodidad.

Si se cuenta con datos horarios, se pueden trazar curvas de Índice de Confort (IC, igual al índice de incomodidad dividido entre dos) como la mostrada en la Fig. 3, o diagramas mensuales como los de las Figs. 4. En ambos casos, con muy buena aproximación, es posible establecer los períodos para los cuales hay que usar mecanismos de climatización, activos o pasivos, dependiendo de que tan alejados se encuentren los puntos de la zona de bienestar térmico (Koenigsberg et al., 1977).

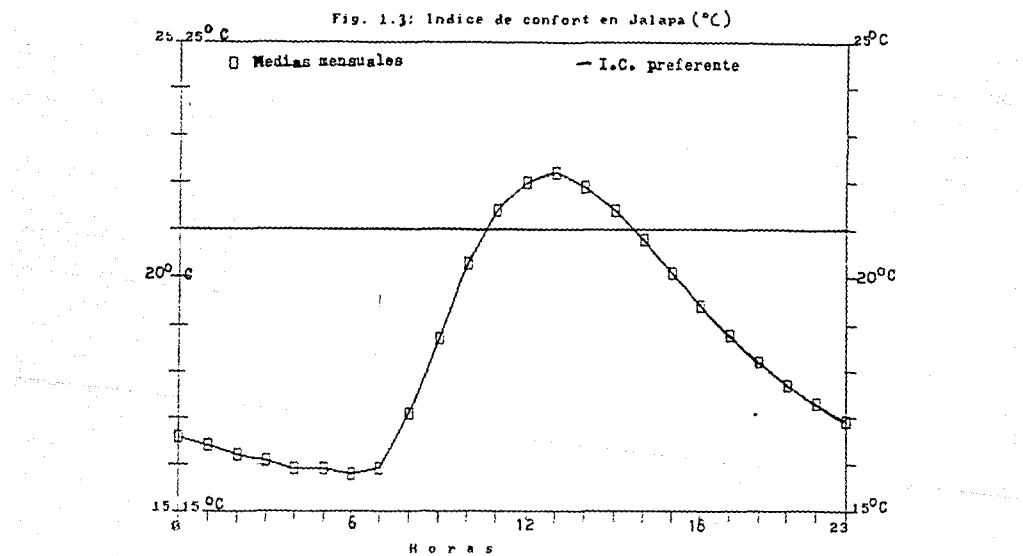
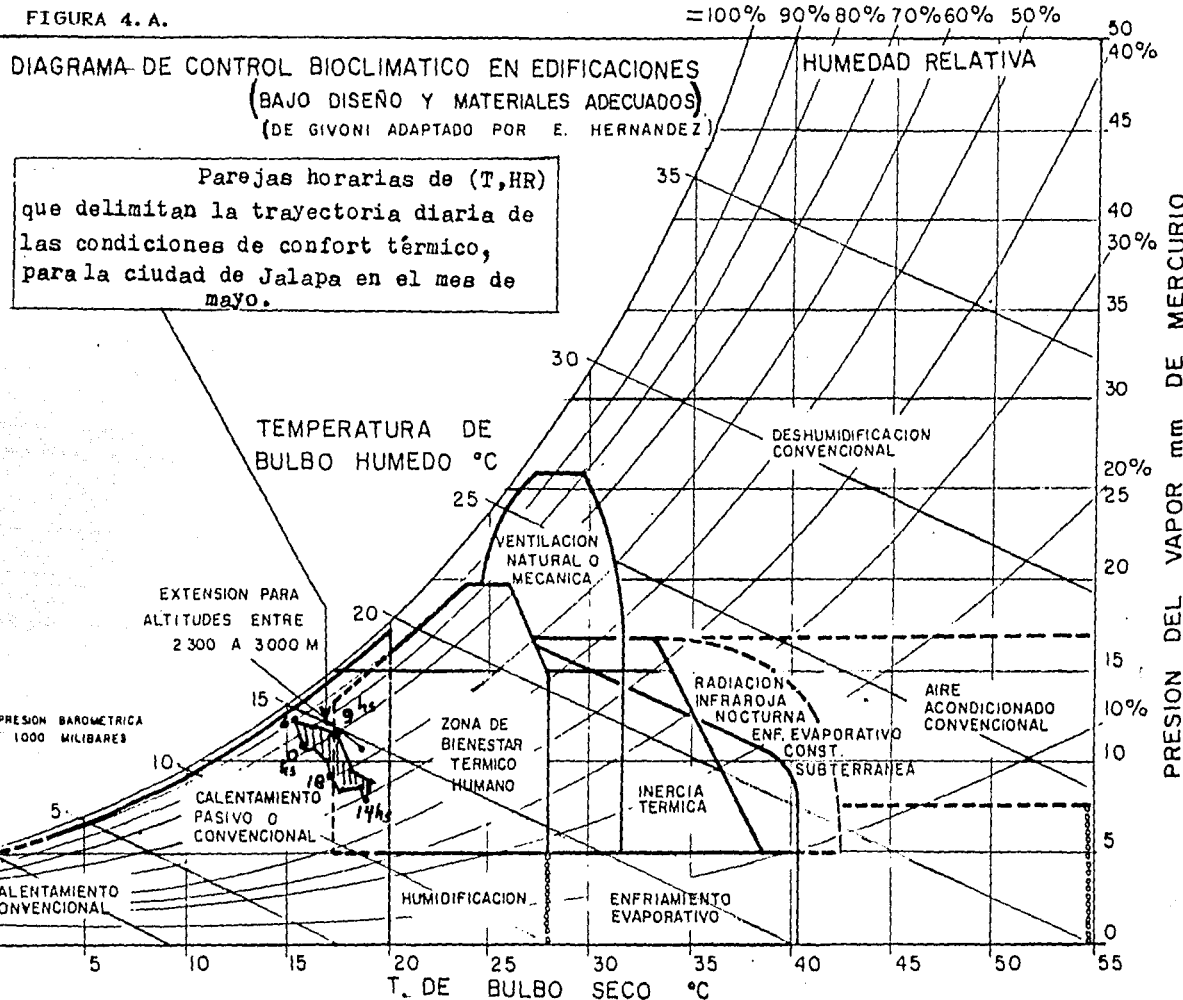
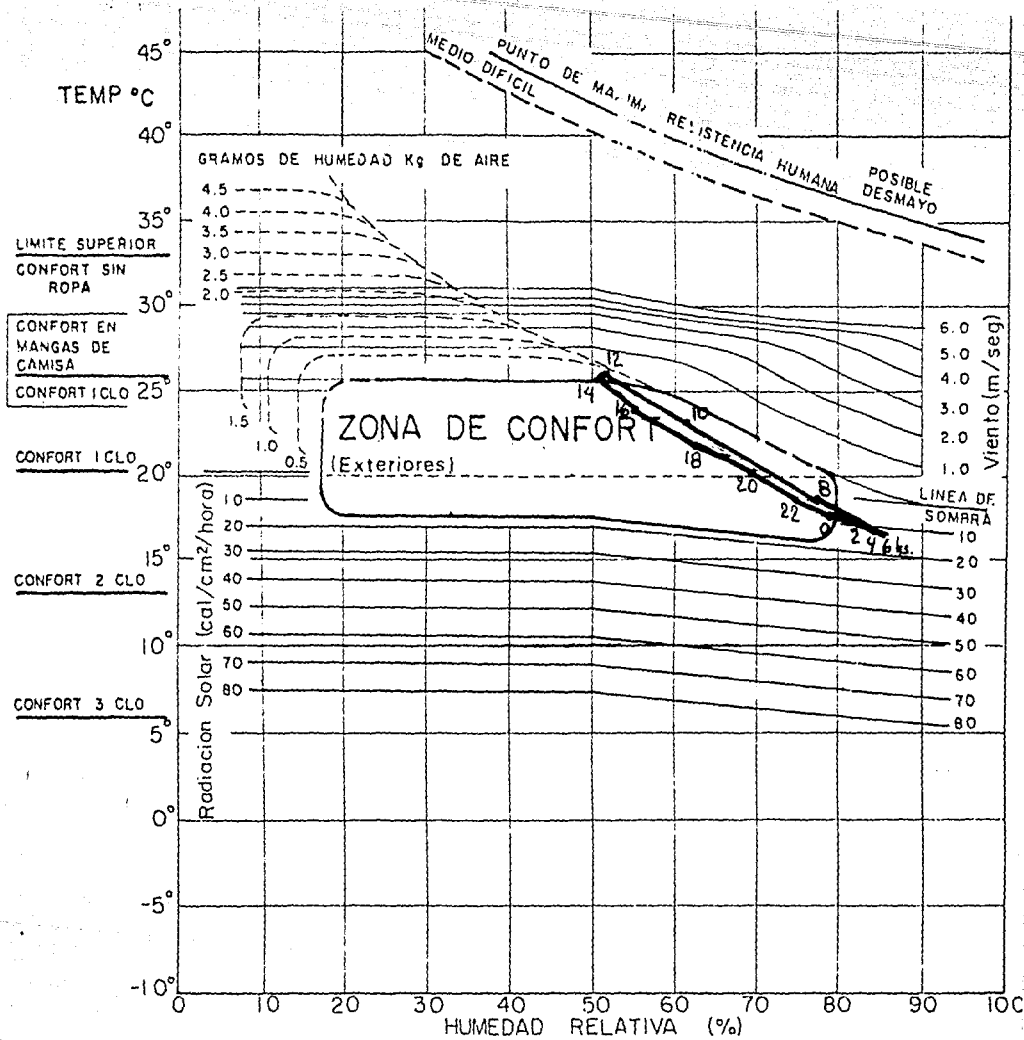


FIGURA 3. Promedio de la marcha diaria del índice de confort  $IC = (T + Tw)/2$ , en el mes de mayo en Xalapa, Ver.

FIGURA 4.A.





\* 1 CLO = UNIDAD DE AISLAMIENTO TERMICO (ROPA DE CALLE)

FIGURAS 4. La Fig. 4.A. (hoja anterior) muestra la marcha diaria del confort higrotérmico en mayo en Xalapa, según el diagrama de Givoni, válido en el interior de las edificaciones. La Fig. 4.B. (arriba), indica lo mismo pero para espacios exteriores, según el criterio de Olzay.

## 2. ESTIMACION DE VARIABLES DE HUMEDAD

### 2.1 TEMPERATURA DE BULBO HUMEDO ( $T_w$ )

En los observatorios meteorológicos reportados en las Normales Climatológicas, se encuentra explicitamente la información de temperaturas ambiente ( $T$ , equivalente a la de bulbo seco) y de bulbo húmedo ( $T_w$ ). lluvia, nubosidad y humedad relativa, entre otros. En las estaciones meteorológicas, que son las más abundantes, no hay ningún dato relativo a la humedad del aire.

Es lógico pensar que la  $T_w$  media mensual sea una función de las condiciones medias de temperatura, lluvia y nubosidad. Por ello se propone un modelo en el que la  $T_w$  es dependiente linealmente de la  $T$ , la precipitación pluvial ( $r$ ), el número de días medio nublados al mes ( $M$ ) y el número de días nublados cerrados ( $N$ ):

$$T_w = a + bT + cr + dM + eN, \quad (2.1)$$

donde  $T$  y  $T_w$  están en grados Celsius y  $r$  en milímetros.

Nótese que  $T$ ,  $r$ ,  $M$  y  $N$  son parámetros contenidos en las tablas de las Normales Climatológicas incluso para las estaciones meteorológicas, pero además para los observatorios se cuenta con los datos de  $T_w$ , por lo que los coeficientes  $a$ ,  $b$ ,  $c$ ,  $d$  y  $e$  se pueden evaluar por un procedimiento de regresión lineal múltiple, si se demuestra que las variables independientes no están correlacionadas y se tiene suficiente número de eneadas ( $T_w, T, r, M, N$ ) como para hacer el cálculo.

Puesto que los observatorios meteorológicos reportados por las Normales Climatológicas y ubicados en la zona de estudio (Fig. 1) son siete, con datos para los doce meses del año se completaron 84 eneadas ( $7 \times 12$ ). Además, como lo muestra la Tabla I, las variables independientes resultaron no estar correlacionadas.

Tras aplicar un paquete computacional, se obtuvo la siguiente expresión que, se reitera, es válida para condiciones medias mensuales:

$$T_w = -9.5 + 1.13 T - 0.005 r + 0.081 M + 0.26 N \quad (2.2)$$

**TABLA I**  
**Coefficientes de determinación ( $r^2$ ) entre las variables**  
**independientes de la Ec. 2.1.**

	T	r	M	N
1	1	0.14	0.07	0.03
r	0.14	1	0.01	0.36
M	0.07	0.01	1	0.05
N	0.03	0.36	0.05	1

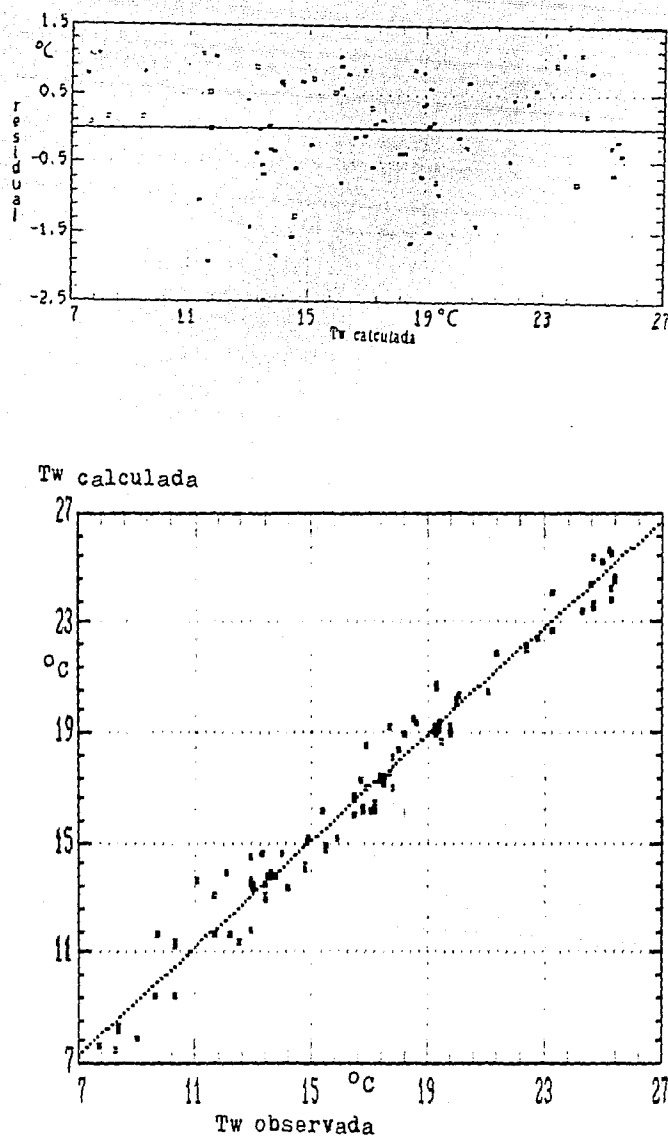
Los datos de la Tabla II muestran claramente la bondad del modelo. Además, a partir de las correlaciones parciales es posible establecer que la Tw media mensual depende, en primer lugar, de T, seguida de N, r y M.

**TABLA II**  
**Resultados de algunos parametros estadísticos que muestran**  
**la bondad de la Ec. 2.2.**

Correlación lineal general	0.98
Coeficiente de determinación (general)	96 %
Correlación lineal particular de T	0.95
Correlación lineal particular de r	0.19
Correlación lineal particular de M	0.05
Correlación lineal particular de N	0.60

El error porcentual de la Tw calculada respecto a la observada sólo rebasó el 10% (valor común al instrumental meteorológico) en seis de los 84 casos considerados, sin llegar al 20% más que en uno de ellos. Estos seis casos corresponden a las estaciones Puebla y Tlaxcala, quizás por estar bajo condiciones climáticas diferentes al resto. Debe resaltarse que la distribución de los residuales es aleatoria y, como ya se dijo, de magnitud pequeña (Figs. 5.a y b).

De esta manera se cuenta con un algoritmo (la Ec. 2.2) para estimar Tw media mensual en las estaciones meteorológicas del estado de Veracruz, cuyas medias mensuales de T, r, M y N están contenidas en las Normales Climatológicas (Ser. Met. Nat., 1982).



FIGURAS 5. (A) Arriba se muestra la distribución de los residuales que resultan al restar  $T_w$  observada a la  $T_w$  calculada con la Ec. 2.2. Como se ve, se distribuyen aleatoriamente alrededor de  $0^\circ C$ . (B) Abajo se graficaron  $T_w$  calculada (eje vertical) contra  $T_w$  observada (eje horizontal).

Por otro lado, en vías de evaluar alguno de los índices de incomodidad higrotermica o trazar los diagramas de confort de Olgay o Givoni -ya mencionados en la INTRODUCCION- también es posible obtener la humedad relativa media mensual (HR) en las estaciones meteorológicas, a partir de la tabla del psicrómetro o de algún termodiagrama relacionando T y Tw; o bien a partir de las ecuaciones de la termodinámica del aire húmedo, como se muestra en el siguiente apartado.

## 2.2 HUMEDAD RELATIVA

En un proceso isobarico y adiabático, es posible saturar una mezcla de aire agregando vapor de agua. La presión de vapor de saturación ( $e_s$ ) y la temperatura ambiente (T) están relacionadas por la ecuación de Clausius-Clapeyron (Haltiner and Martin, 1968; pg. 23):

$$\frac{de_s}{e_s} = \frac{Lev}{Rv} \left( \frac{dT}{T^2} \right) \quad (2.3)$$

Lev es el calor latente de vaporización, igual a 2500 joul.gr<sup>-1</sup>; Rv es la constante en la ecuación de estado del vapor de agua, igual a 0.461 joul.gr<sup>-1</sup>.K<sup>-1</sup>. Además, se tiene el resultado de que a 0°C y una atmósfera de presión  $e_s = 6.11$  mb. Así, sustituyendo e integrando tendremos:

$$\int_{6.11}^{e_s} \frac{de_s}{e_s} = 5423^{\circ}\text{K} \int_{273}^T \frac{dT}{T^2}$$

$$e_s = 6.11 \exp 19.85 (1-273/T) \quad (2.4)$$

La diferencia entre la temperatura de bulbo seco (T) y de bulbo húmedo (Tw) se relaciona con la diferencia de presiones de vapor a la temperatura T(e) y la presión de vapor de saturación a Tw(esv) aproximadamente así (Haltiner and Martin, 968; pg.26):

$$esv - e = cpd P (T-Tw)/(0.622 Lev).$$

donde  $P$  es la presión atmosférica, y  $Cpd$  es el calor específico del aire seco a presión constante ( $1.004 \text{ joul.gr}^{-1} \text{ }^{\circ}\text{K}^{-1}$ ). Así:

$$e = 6.11 \exp(19.85 (1-273/Tw)) - 0.00066 P (T-Tw) \quad (2.5)$$

Si consideramos una presión de  $1013.8 \text{ mb}$  y sabiendo que la humedad relativa en porcentaje tiene la expresión

$$HR = 100 e/e_s \quad (2.6)$$

tendremos:

$$HR = \frac{100 \exp 19.85 (1-273/Tw) - 0.108 (1-Tw)}{\exp 19.85 (1-273/T)}$$

Para que la expresión valga a cualquier presión  $P$  y haciendo uso de la ecuación hidrostática, tendremos:

$$HR = \frac{100 (\exp 19.85 (1-273/Tw) - 0.108 (T-Tw) (P_{0-ph}) / P_0)}{\exp 19.85 (1-273/T)} \quad (2.7)$$

donde  $P_0 = 1013.8 \text{ mb}$  es la presión media al nivel del mar; la aceleración media de la gravedad terrestre es  $g = 9.8 \text{ m s}^{-2}$ ; la densidad media de la troposfera es  $\rho = 1.1 \text{ gr/m}^3$ , y  $h$  es la altitud del lugar, cuyo valor en metros también reportan las Normales Climatológicas.

### 2.3 VALORES HIGROTERMICOS MAXIMOS Y MINIMOS.

Givoni (1964), también por regresión lineal múltiple, establece la dependencia de la presión de vapor ( $e$ ) de otras variables climatológicas de manera similar a como se hizo en este trabajo para la  $T_v$ . El mismo autor, para obtener los valores de la HR máxima y mínima medias mensuales, supone que la  $e$  es prácticamente independiente de la hora del día, salvo cuando hay marcada advección de aire más seco o más húmedo que el prevalente. Esta excepción se salva si se trabajan valores medios mensuales.

La hipótesis que haremos aquí es que la  $e$  permanece constante

entre la hora de ocurrencia de la temperatura media (10 a 12 del día) y la temperatura máxima (14 a 15 horas), que corresponden respectivamente a las horas de HR media y mínima. Geiger (1957) al citar resultados de Fransila para localidades de Finlandia, encontró un comportamiento de e muy similar al que se está suponiendo en este punto (Fig. 6).

Si en la ecuación (2.4) se sustituye la temperatura máxima media mensual ( $T_{max}$ ) se obtendrá la presión de vapor máxima media mensual ( $e_{max}$ ). La Ec. (2.5) en función de  $T$  y  $T_v$  medias mensuales dará el valor de  $e$  media mensual, que aquí se considerará que permanece constante entre las 10 y las 15 horas, como se mencionó anteriormente. De ese modo, la humedad relativa mínima media mensual ( $HR_{min}$ ) será, en similitud con la Ec. 2.7:

$$HR_{min} = \frac{\exp 19.85(1-273/T_w) - 0.108(T-T_w)(P_0-pgh)/P_0}{\exp 19.85(1-273/T_{max})} \quad (2.8)$$

Los valores máximos medios mensuales de HR se obtienen de la definición de promedio:

$$HR_{max} = 2 \cdot HR - HR_{min} \quad (2.9)$$

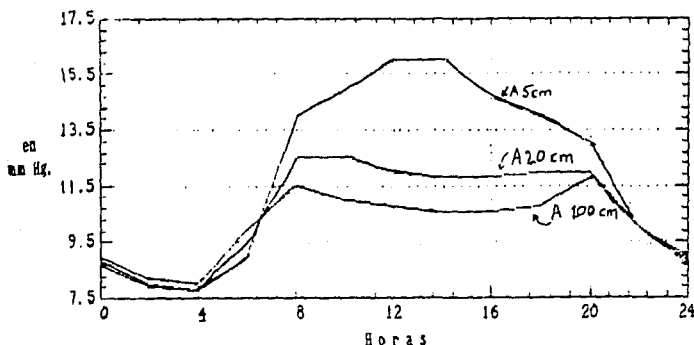


FIGURA 6. Variación diaria de la presión de vapor a varias alturas sobre el suelo en un lugar de Finlandia (De Fransila, citado por Geiger, 1957).

### 3. MODELO EXPONENCIAL DE LA MARCHA DIARIA DE VARIABLES HIGROTERMICAS

#### 3.1 EL MODELO EXPONENCIAL SIMPLE

Varias estaciones climatológicas o meteorológicas realizan mediciones de temperatura máxima y mínima pero no de temperaturas horarias. Por esta razón no pocos autores han modelado la variación diurna de la temperatura. Allen (1976), Hansen y Driscoll (1977), Johnson y Fitzpatrick (1977 a,b), Parton y Logan (1981), Floyd y Braddock (1984), Wann et al. (1985) y Kimball y Bellamy (1986) han elaborado modelos a base de funciones senoidales y Carson (1963) hizo un modelo con análisis de Fourier.

En este trabajo se está suponiendo que las marchas diarias de  $T$ ,  $T_w$  y  $HR$  ocurren como el la Fig. 7, lo que habían anticipado

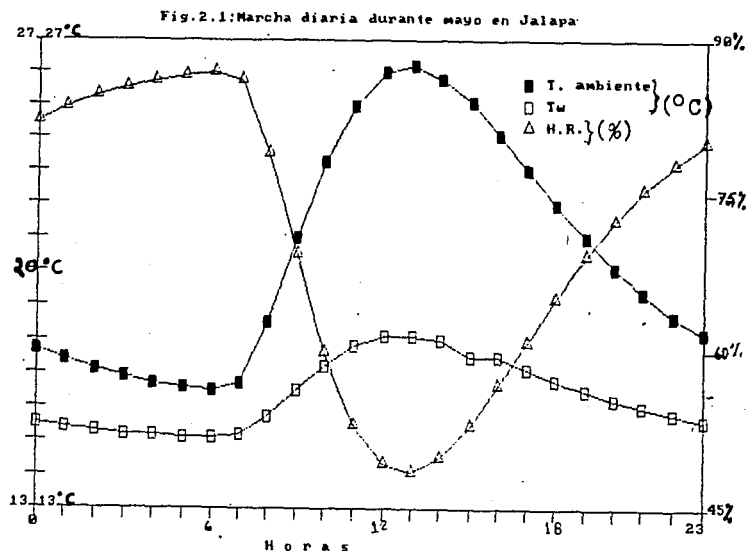


FIGURA 7. Marcha diaria promedio mensual de  $T$ ,  $T_w$  y  $HR$  durante mayo en Xalapa, Ver.

Geiger (1957, Cap.8). Matveev (1967, pp. 206-7) y Lowry (1967, pp. 33-5) entre otros. Debe notarse que ninguna de las curvas de la Fig. 7 se puede simular a partir de una función senoidal, pues para las temperaturas la rapidez de crecimiento de la curva es mayor que la de decrecimiento, y para la HR el proceso se invierte. La condición antes señalada la representa la función:

$$Y = a t^b \exp (-ct) \quad (3.1)$$

donde  $t$  es el tiempo y la terna ( $a, b, c$ ) determina la forma de la onda. De esta manera la temperatura horaria media mensual ( $T_H$ ) puede evaluarse así:

$$T_H = T_{\min} + Y (T_{\max} - T_{\min}). \quad (3.2)$$

El autor de este trabajo hizo una estimación preliminar de ( $a, b, c$ ) considerando lo siguiente:

- a)  $Y = 0$  a la salida del Sol, cuando  $T_H = T_{\min}$ .
- b)  $Y = 1$  pasado el medio día (14 o 15 horas), cuando  $T_H = T_{\max}$ .
- c)  $Y = 1/2$  cuando  $T_H = T_{\text{media}}$ . Esta última condición se satisface a partir de la definición de promedio de una función continua:

$$T_{\text{media}} = \frac{\int_{t_0}^{t_0+\tau} T_H dt}{\tau} \quad (3.3)$$

donde  $t_0$  es la hora de salida del Sol y  $\tau$  es el periodo de rotación de la Tierra (para efectos prácticos, igual a 24 horas).

Otra variable que debe considerarse para evaluar ( $a, b, c$ ) es la latitud.

Con el objeto de hacer un cálculo lo más preciso posible, Guerrero (1989) usó un año de temperaturas diarias (1979) de las localidades que se indican en la Tabla III, y con cálculos estadísticos obtuvo los valores de ( $a, b, c$ ) que se indican en la Tabla IV.

TABLA III

Sitios usados para evaluar las constantes de la Ec. 3.2

Sitios	Latitud (°N)	Longitud (°W)	Altitud (m)
Hermosillo	29°4'	110°58'	237
Torreón	25°32'	103°27'	1013
Monterrey	25°40'	100°18'	538
Tampico	22°13'	97°51'	12
Manzanillo	19°3'	104°17'	8
Jalapa	19°32'	96°55'	1427
Tacubaya	19°24'	99°12'	2308
Tapachula	14°55'	92°16'	182
S. Cristóbal las Casas	16°44'	92°38'	2276
Mérida	20°59'	89°39'	9

TABLA IV

Valores de a, b, c y d en función de la latitud y la época del año para la República Mexicana

Meses	Latitud	Valores		
		a	b	c
Marzo a Octubre	≥ 23.5° N	0.026	3.190	-0.375
Noviembre a Febrero	≥ 23.5° N	0.023	3.436	-0.421
Enero a Diciembre	< 23.5° N	0.096	2.422	-0.339

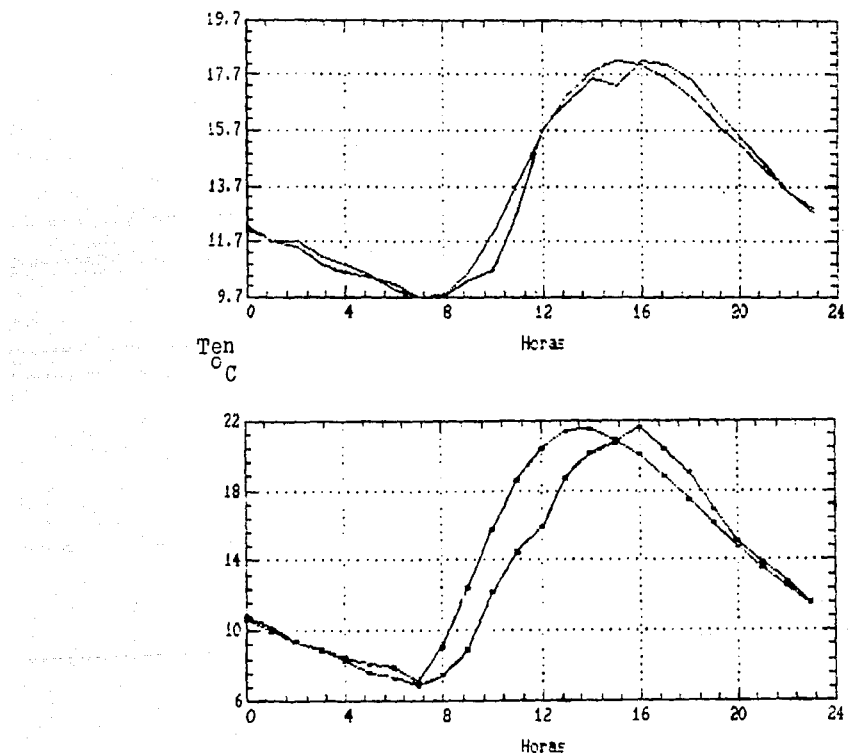
El modelo exponencial (Ec.3.2) también puede usarse para simular el comportamiento horario medio mensual de la temperatura de bulbo húmedo ( $T_v$ ) o de índices bioclimáticos que son funciones lineales de la temperatura ambiente (como el  $IC = [T+Tw]/2$ ).

Aunque, desde luego, para la HR la relación es como sigue (Véase Fig. 7, y Lowry, 1967 pg.76):

$$HR_H = HR_{\min} + (1-y)(HR_{\max} - HR_{\min}), \quad (3.4)$$

### 3.2 SOBRE LA CALIDAD DE SIMULACION DEL MODELO EXPONENCIAL

Las gráficas de la Figs. 8 muestran, respectivamente, el mejor y el peor ajuste del modelo exponencial de la marcha diaria de la temperatura. No obstante que esas figuras parecen ser eloquentes en cuanto a la bondad del modelo, en el resto de esta sección se le compara con los resultados de un trabajo de evaluación de varios métodos de simulación de la marcha diaria de la temperatura.



FIGURAS 8. (A) Arriba, el mejor ajuste del modelo exponencial (Hermosillo, enero de 1979). La curva suave es lo estimado, y la quebrada lo observado. Se tuvo un coeficiente de correlación de 0.987 y una  $\chi^2$  de  $0.4^{\circ}\text{C}$ .  
(B) abajo, el peor ajuste: Tacubaya, D.F., enero de 1979. Coeficiente de correlación de 0.934 y  $\chi^2 = 5.1^{\circ}\text{C}$ .

Reicosky et al. (1989) determinaron la bondad de ajuste de cinco métodos reportados en la literatura, seleccionados por su uso en modelos de crecimiento de plantas y por su sencillez. Para ello usaron cuatro años de datos de temperatura a 2 metros de altura sobre pasto húmedo. Los errores absolutos medios para períodos de 24 horas variaron entre 0.5 y 9.3°C.

Los parámetros estadísticos usados por Reicosky et al. (1989) para evaluar la bondad de los modelos, también se aplicaron al modelo exponencial expuesto páginas atrás, y se hizo una comparación con el mejor de los métodos reportados por Reicosky et al. Tales calificadores estadísticos son:

a) El error absoluto medio (AME), definido como la suma del valor absoluto de la diferencia entre las temperaturas estimadas ( $\hat{T}$ ) y las observadas ( $T$ ):

$$AME = \frac{1}{n} \sum_{t=1}^n |T_{est} - T_{obs}| \quad (3.5)$$

donde  $n$  es el número de observaciones.

b) La raíz del error cuadrático medio (RMSE):

$$RMSE = \sqrt{\frac{1}{n} \sum_{t=1}^n (T_{est} - T_{obs})^2} \quad (3.6)$$

c) Las suma de los residuales (RES) y la suma del valor absoluto de los residuales (RES):

$$RES = \sum_{t=1}^n (T_{est} - T_{obs}) \quad (3.7)$$

d) El coeficiente de determinación o coeficiente de correlación al cuadrado ( $R^2$ ):

$$R^2 = \frac{\sum_{t=1}^n (T_{est} - \bar{T}_{obs})^2}{\sum_{t=1}^n (T_{obs} - \bar{T}_{obs})^2} \quad (3.8)$$

donde  $\bar{T}$  es la media de los  $T_{ci}$ ,  $i = 1, 2, \dots, n$ .

De los cinco modelos analizados por Reicosky, el menor fue el de De Wit et al. (1978). Su calificación estadística y la comparación con el modelo exponencial se muestran en la tabla 3.

El método de De Wit et al. (1978) supone la temperatura máxima diaria ( $T_M$ ) a las 14 h locales, y la mínima diaria ( $T_m$ ) al amanecer ( $H_0$ ). Si  $H$  es la hora, las temperaturas horarias se calculan así:

- a) Para  $0 \leq H \leq H_0 < 14$  h:  $H' = H + 10$  si  $H < H_0$   
 $H': H' = 14$  si  $H \geq 14$  h;

$$T_h = \frac{T_m + T_M}{2} + \frac{T_M - T_m}{2} \cos \left[ \frac{\pi H'}{10 + H_0} \right] \quad (3.9)$$

- b) Para  $H_0 < H \leq 14$  h: con  $H' = H + 10$  si  $H < H_0$ :  $H' = 14$  si  $H \geq 14$  h;

$$T_h = \frac{T_m + T_M}{2} - \frac{T_M - T_m}{2} \cos \left[ \frac{\pi (H - H_0)}{14 - H_0} \right] \quad (3.10)$$

Fácilmente se ve que el modelo exponencial y el método de De Wit tienen el mismo grado de dificultad para evaluar las temperaturas horarias a partir de las máximas y las mínimas, sólo que el modelo exponencial es para valores horarios medios mensuales y el de De Wit para temperaturas horarias diarias.

El modelo exponencial presentado tiene una mayor exactitud que el de De Wit, el mejor de los métodos analizados por Reicosky et al. (ver Tabla V). La razón estriba en que el modelo exponencial tiene cuatro puntos de ajuste: la hora de la temperatura mínima, la de la máxima y las dos horas que corresponden a la temperatura media. También que la temperatura horaria media mensual tiene un comportamiento más regular que la temperatura horaria diaria, porque ésta última se ve afectada mayormente por la advección.

TABLA V

Bondad de ajuste del modelo exponencial y el de De Wit et al.

	De Wit et al.	Modelo Exponencial		
		Mejor caso	Pior caso	Todos
AME ( $^{\circ}$ C)	1.0	0.3	1.4	0.9
RMSE ( $^{\circ}$ C)	1.5	0.5	2.0	1.3
RES ( $^{\circ}$ C)	-12.6	-1.3	-17.0	-9.2
RES  ( $^{\circ}$ C)	24.0	3.7	16.3	10.0
R <sup>2</sup>	0.95	0.97	0.84	0.91

## 4. TABLAS HORARIAS DE CONFORT HIGROTERMICO

### 4.1 TEMPERATURA AMBIENTE

Conviene recalcar que los datos aquí presentados no constituyen una evaluación bioclimática, sino apenas una aproximación al estado del confort higrotermico. Se prefirió mostrar los resultados categorizados y no en su valor numérico, pues no se hicieron pruebas de ajuste de los resultados finales sino sólo de los parciales, ya que evaluar los datos finales hubieran significado que se contaba con mediciones de ellos, cuando en realidad su ausencia motivó el desarrollo de esta metodología de simulación.

Para la temperatura ambiente, tomando en cuenta que se trata de valores horarios medios mensuales a la sombra que no incluyen el incremento térmico de la radiación de paredes, pavimentos, etc. (Landsberg, 1981; pp. 248-49), se establecieron siete intervalos, a partir de la temperatura preferente o *termopreferéndum* de las personas aclimatadas al sitio, y que según Tudela (1982, p. 52) tiene la expresión:

$$T_p = 17.2^{\circ}\text{C} + \frac{T_{\text{media anual}}}{4} \quad (4.1)$$

El intervalo de temperaturas adecuadas será  $T_p \pm 2^{\circ}\text{C}$ .

Ese criterio de usar una escala relativa a cada sitio, tiene la ventaja de tomar en cuenta los procesos de aclimatación, que hacen que una persona de zonas cálidas sea más sensible a las temperaturas bajas que a las altas, y una persona aclimatada en lugares fríos responda de manera inversa.

Sobre el particular debe recordarse que desde 1931 Wilder postuló el principio fisiológico del valor inicial; es decir, que el impacto de una perturbación en el cuerpo humano está relacionado con el estado inicial del sistema fisiológico (Tromp, 1974).

Así, la perturbación se registra si sale del intervalo  $T_p \pm 2^{\circ}\text{C}$ .

Si  $T_H$  es la temperatura horaria media mensual, los intervalos correspondientes a la siguiente serie de gráficas son:

$T_H > T_F + 10$ ; Torrido.

$T_F + 6 \leq T_H \leq T_F + 10$ ; Muy caliente.

$T_F + 2 \leq T_H \leq T_F + 6$ ; Cálido.

$T_F - 2 \leq T_H \leq T_F + 2$ ; Templado.

$T_F - 6 \leq T_H \leq T_F - 2$ ; Subtemplado..

$T_F - 10 \leq T_H \leq T_F - 6$ ; Frio.

$T_H < T_F - 10$ ; Muy frio.

Debe enfatizarse que los calificativos de sensación térmica dados en las tablas de la sección 4.1, y de confort de las tablas de la sección 4.3, corresponden a una persona en actitud sedentaria, a la sombra y con una ventilación mínima. Esto es lógico, pues la información meteorológica proviene de instrumentos ubicados en el interior de una caseta, por lo que están, precisamente, a la sombra y ventilados.

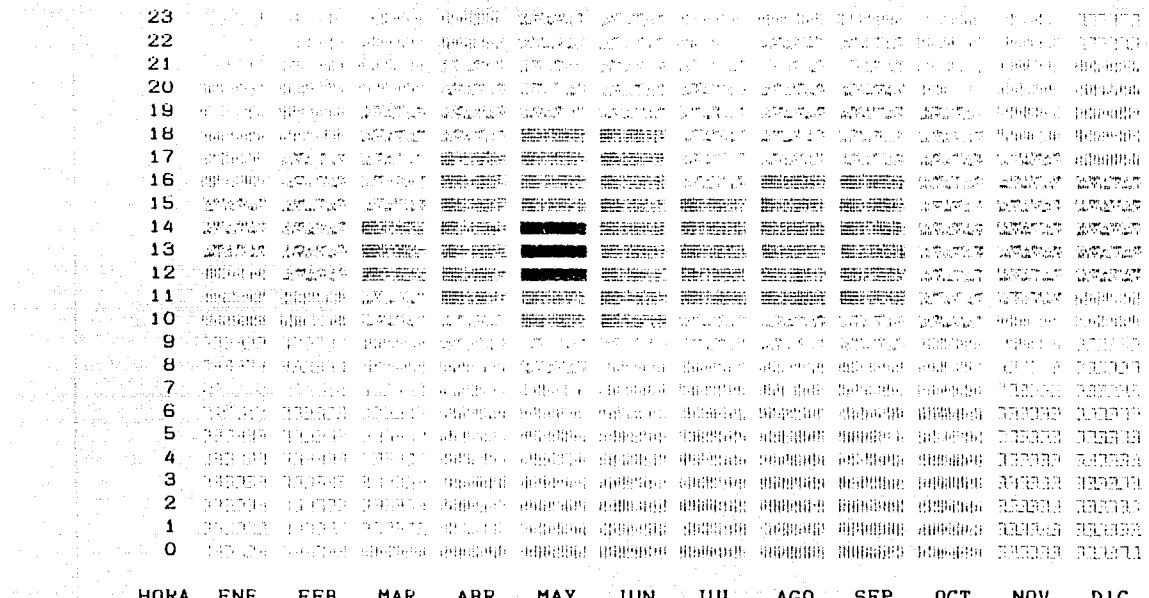
NOTA: La ubicación de todos los sitios cuyas tablas se incluyen en este capítulo, se muestra en la Fig. 1.

**L U C A L I D A D : A C A Y U C A N**

18 N: 94.9 W: 90 msnm

### Temperatura Ambiente

## PROMEDIOS HORARIOS



HORA ENE FEB MAR ABR MAY JUN JUL AGO SEP OCT NOV DIC

TURRIDO

## **DEPARTAMENTO SUBTEMPLADO**

MUY CALIDO

WINTER FRIGO

## ATACAS CALIDO

MUY FRIO

## **apêndice TEMPLADO**

(APLICABLE A PERSONAS ACLIMATADAS AL SITIO)

**LUGALIDAD : ALVARADO**

18.7 N: 95.8 W: 10 msnm

### Temperatura Ambiente

#### **PROMEDIOS HORARIOS**

HORA ENE FEB MAR ABR MAY JUN JUL AGO SEP OCT NOV DIC

**TORRIDO**

## SUBTEMPLADO

MUY CALIDO

FR10

ANALYST CALIDO

**MUY FRÍO**

PREGÓN TEMPLADO

(APLICABLE A PERSONAS ACLIMATADAS AL SITIO)

LOCALIDAD : CORDOBA VER

18.9 N: 96.9 W: 925 msnm

### Temperatura Ambiente

#### **PROMERIOS HORARIOS**

HORA ENE FEB MAR ABR MAY JUN JUL AGO SEP OCT NOV DIC

**TORRIDO** **SUBTEMPLADO**

MUY CALIDO FRIOS

**CALIDO**      **MUY FRIO**

**TEMPLADO**

(APLICABLE A PERSONAS ACLIMATADAS AL SITIO)

LOCALIDAD : COSAMALDAPAN

18.4 N; 95.8 W; 96 msnm

### Temperatura Ambiente

## PROMEDIOS HORARIOS

HORA ENE FEB MAR ABR MAY JUN JUL AGO SEP OCT NOV DIC

TORRJIDO

**SUBTEMPLOADO**

MUY CALIDO

**CALIFORNIA CALICO**

**americano MUY FRÍO**

TEMPLO  
ADORNADO

(APLICABLE A PERSONAS ACLIMATADAS AL SITIO)

**LOCALIDAD : CHICONTEPEC**

21 N: 98.2 W: 595 msnm

### Temperatura Ambiente

#### PROMEDIOS HORARIOS



HORA ENE FEB MAR ABR MAY JUN JUL AGO SEP OCT NOV DIC

TORRIDO

000000 SUBTEMPLADO

MUY CALIDO

ANSWER

## **SISTEMA CALIDO**

000000 MUY FRIO

W W W W W W W W TEMPLADO

(APLICABLE A PERSONAS ACLIMATADAS AL SITIO)

LOCALIDAD : JALACINGO

19.8 N; 97.3 W; 1950 msnm

### Temperatura Ambiente

## PROMEDIOS HORARIOS

HORA ENE FEB MAR ABR MAY JUN JUL AGO SEP OCT NOV DIC

**TORRIDO** **BBB3371** **SUBTEMPLADO**

MUY CALIDO FRIO

**TEMPLE** **TEMPLADO**

(APLICABLE A PERSONAS ACLIMATADAS AL SITIO)

**LOCALIDAD : JALAPA**

19.5 N: 96.8 W: 1430 msnm

### Temperatura Ambiente

### PROMEDIOS HORARIOS

HORA ENE FEB MAR ABR MAY JUN JUL AGO SEP OCT NOV DIC

**TORRIDO**

**SUBTEMPLADO**

MUY CALIDO

www.FRIO

**WAVES CALIDO**

000000 MUY FRIO

 **TEMPLADO**

(APLICABLE A PERSONAS ACLIMATADAS AL SITIO)

LOCALIDAD : JESUS CARRANZA

17.4 N: 95 W: 20 msnd

### Temperatura Ambiente

## PROMEDIOS HORARIOS

HORA ENE FEB MAR ABR MAY JUN JUL AGO SEP OCT NOV DIC

TORRIDO

**DEPARTAMENTO SUBTEMPLADO**

MUY CALIDO

ANSWER

ACQUA CALIDO

**WINNING MUY FRIO**

**TEMPLADO**

(APLICABLE A PERSONAS ACLIMATADAS AL SITIO)

LOCALIDAD : JOSE CARDENAS

19.4 N: 96.4 W: 30 msnm

### Temperatura Ambiente

## PROMERIOS HORARIOS

HORA ENE FEB MAR ABR MAY JUN JUL AGO SEP OCT NOV DIC

TORRIDO

**SUBTEMPLOADO**

MUY CALIDO

2025 RELEASE UNDER E.O. 14176

2023 CALIDO

OTRO DÍA MUY FRÍO

**TEMPLOADO**

(APLICABLE A PERSONAS ACLIMATADAS AL SITIO)

**LOCALIDAD : LAS VIGAS**

**19.6 N; 97.1 W; 2400 msnm**

**Temperatura Ambiente**

**PROMEDIOS HORARIOS**

23	0000000	0000000	0000000	0000000	0000000	0000000	0000000	0000000	0000000	0000000	0000000	0000000
22	0000000	0000000	0000000	0000000	0000000	0000000	0000000	0000000	0000000	0000000	0000000	0000000
21	0000000	0000000	0000000	0000000	0000000	0000000	0000000	0000000	0000000	0000000	0000000	0000000
20	0000000	0000000	0000000	0000000	0000000	0000000	0000000	0000000	0000000	0000000	0000000	0000000
19	0000000	0000000	0000000	0000000	0000000	0000000	0000000	0000000	0000000	0000000	0000000	0000000
18	0000000	0000000	0000000	0000000	0000000	0000000	0000000	0000000	0000000	0000000	0000000	0000000
17	0000000	0000000	0000000	0000000	0000000	0000000	0000000	0000000	0000000	0000000	0000000	0000000
16	0000000	0000000	0000000	0000000	0000000	0000000	0000000	0000000	0000000	0000000	0000000	0000000
15	0000000	0000000	0000000	0000000	0000000	0000000	0000000	0000000	0000000	0000000	0000000	0000000
14	0000000	0000000	0000000	0000000	0000000	0000000	0000000	0000000	0000000	0000000	0000000	0000000
13	0000000	0000000	0000000	0000000	0000000	0000000	0000000	0000000	0000000	0000000	0000000	0000000
12	0000000	0000000	0000000	0000000	0000000	0000000	0000000	0000000	0000000	0000000	0000000	0000000
11	0000000	0000000	0000000	0000000	0000000	0000000	0000000	0000000	0000000	0000000	0000000	0000000
10	0000000	0000000	0000000	0000000	0000000	0000000	0000000	0000000	0000000	0000000	0000000	0000000
9	0000000	0000000	0000000	0000000	0000000	0000000	0000000	0000000	0000000	0000000	0000000	0000000
8	0000000	0000000	0000000	0000000	0000000	0000000	0000000	0000000	0000000	0000000	0000000	0000000
7	0000000	0000000	0000000	0000000	0000000	0000000	0000000	0000000	0000000	0000000	0000000	0000000
6	0000000	0000000	0000000	0000000	0000000	0000000	0000000	0000000	0000000	0000000	0000000	0000000
5	0000000	0000000	0000000	0000000	0000000	0000000	0000000	0000000	0000000	0000000	0000000	0000000
4	0000000	0000000	0000000	0000000	0000000	0000000	0000000	0000000	0000000	0000000	0000000	0000000
3	0000000	0000000	0000000	0000000	0000000	0000000	0000000	0000000	0000000	0000000	0000000	0000000
2	0000000	0000000	0000000	0000000	0000000	0000000	0000000	0000000	0000000	0000000	0000000	0000000
1	0000000	0000000	0000000	0000000	0000000	0000000	0000000	0000000	0000000	0000000	0000000	0000000
0	0000000	0000000	0000000	0000000	0000000	0000000	0000000	0000000	0000000	0000000	0000000	0000000

HORA ENE FEB MAR ABR MAY JUN JUL AGO SEP OCT NOV DIC

<b>TORRIDO</b>	<b>SUBTEMPLADO</b>
<b>MUY CALIDO</b>	<b>FRIO</b>
<b>CALIDO</b>	<b>MUY FRIO</b>
<b>TEMPLADO</b>	

**(APLICABLE A PERSONAS ACLIMATADAS AL SITIO)**

LOCALIDAD : MTZ DE LA TORRE

20.1 N; 97 W; 150 msnm

### Temperatura Ambiente

## PROMEDIOS HORARIOS

HORA ENE FEB MAR ABR MAY JUN JUL AGO SEP OCT NOV DIC

TORRIDO

## **RESUMEN SUBTEMPLADO**

MUY CALIDO

WINTER FRIO

**CALIDO**

abrigado MUY FRIO

**TEMPLADO**

(APLICABLE A PERSONAS ACLIMATADAS AL SITIO)

### L-LOCALIDAD : MISANTLA

19.9 N: 96.8 W: 410 m.s.m

### Temperatura Ambiente

## PROMEDIOS HORARIOS

HORA ENE FEB MAR ABR MAY JUN JUL AGO SEP OCT NOV DIC

**TORRIDO**

ESTRUTURA SUBTEMPLADO

MUY CALIDO

Message ER10

## ~~TESTED~~ CALIDO

**OPINIÓN MUY FRÍO**

## **TEMPLO**

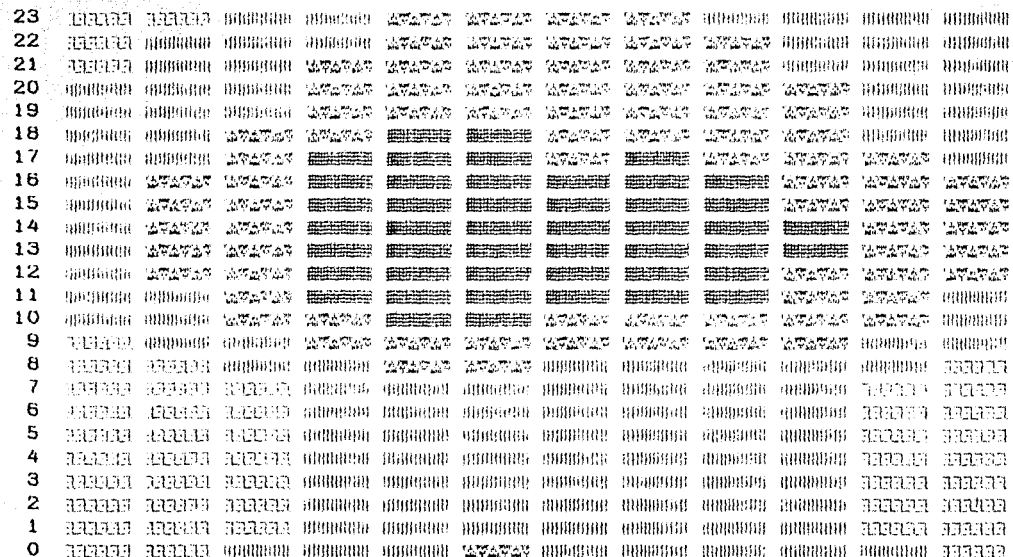
(APLICABLE A PERSONAS ACLIMATADAS AL SITIO)

LOCALIDAD : NANCHITAL

18.1 N; 94.4 W; 15 m.snm

### Temperatura Ambiente

## PROMERIOS HORARIOS



HORA ENE FEB MAR ABR MAY JUN JUL AGO SEP OCT NOV DIC

TORRIDO

סבבון SUBTEMPERADO

MUY CALIDO

APPENDIX EPILO

www.galileo

**ESTADO MUY FRIO**

#### **TEMPLO ADDO**

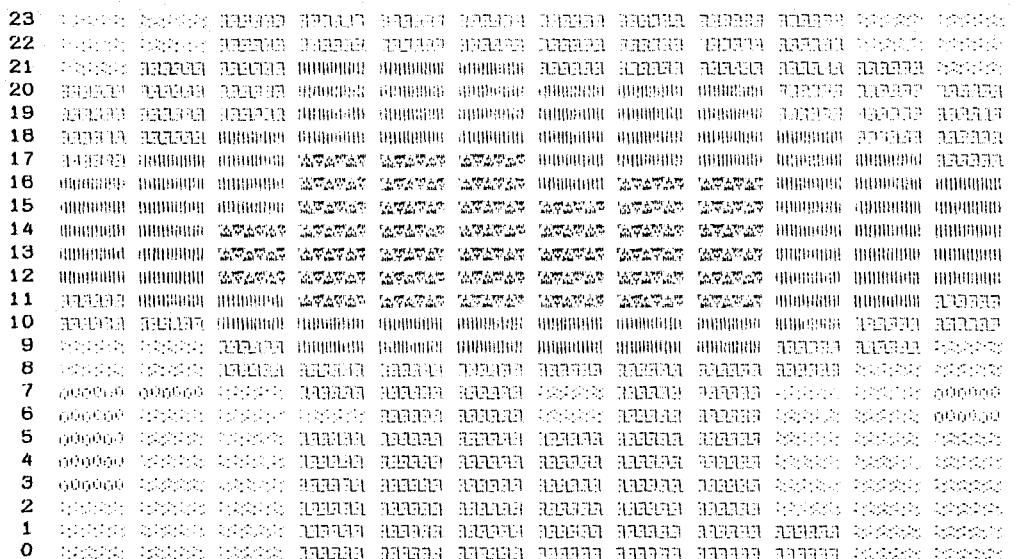
(APLICABLE A PERSONAS ACLIMATADAS AL SITIO)

**LOCALIDAD : ORIZABA**

**18.9 N; 97.1 W; 1284 msnm**

**Temperatura Ambiente**

**PROMEDIOS HORARIOS**



**TORRIDO**

**SUBTEMPLADO**

**MUY CALIDO**

**FRIO**

**CALIDO**

**MUY FRIO**

**TEMPLADO**

**(APLICABLE A PERSONAS ACLIMATADAS AL SITIO)**

LOCALIDAD : PANUCO

22 N: 98.2 W; 60 msnm

Temperatura Ambiente

PROMEDIOS HORARIOS



HORA ENE FEB MAR ABR MAY JUN JUL AGO SEP OCT NOV DIC

TORRIDO

SUBTEMPLADO

MUY CALIDO

FRIO

CALIDO

MUY FRIO

TEMPLADO

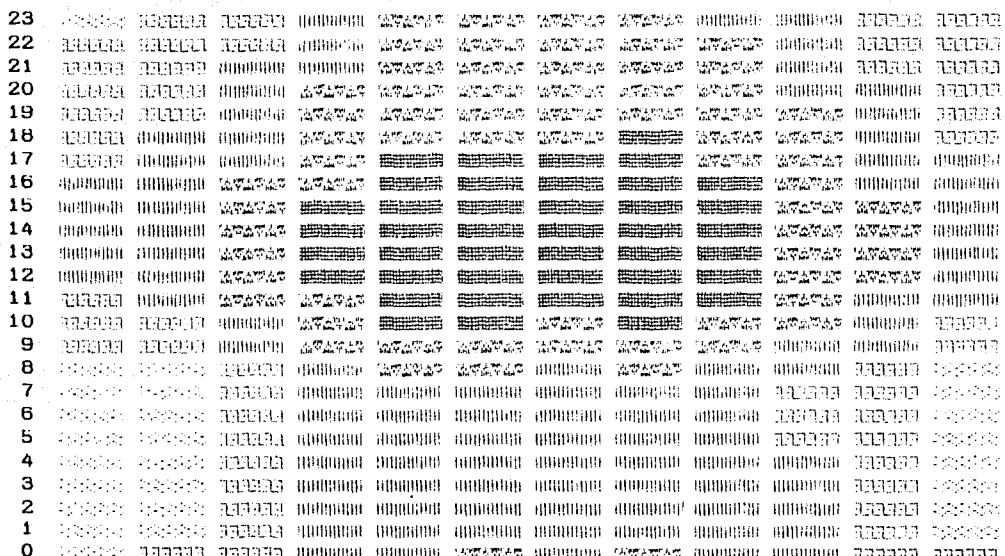
(APLICABLE A PERSONAS ACLIMATADAS AL SITIO)

LOCALIDAD : PAPANTLA

20.5 N: 97.3 W: 300 msnm

### Temperatura Ambiente

## PROMEDIOS HORARIOS



HORA ENE FEB MAR ABR MAY JUN JUL AGO SEP OCT NOV DIC

TORRIDO

### **SUBTEMPLOADO**

MUY CALIDO

2025 RELEASE UNDER E.O. 14176

 CALIDO

**MUY FRÍO**

**TEMPLADO**

(APLICABLE A PERSONAS ACLIMATADAS AL SITIO)

LOCALIDAD : POZA RICA

20.5 N: 97.5 W: 150 m.s.m

### Temperatura Ambiente

## PROMEDIOS HORARIOS

HORA ENE FEB MAR ABR MAY JUN JUL AGO SEP OCT NOV DIC

TORRIDO

3333333 SUBTEMPLADO

MUY CALIDO

FRIO

**CALIDO**

000000 MUY FRIO

## **TEMPLO**

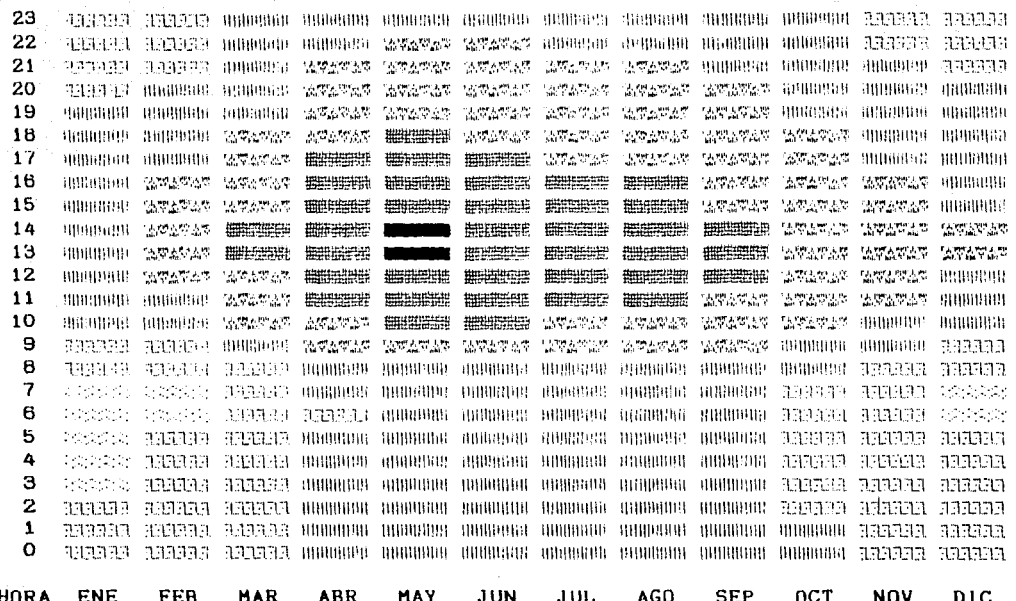
(APLICABLE A PERSONAS ACLIMATADAS AL SITIO)

LOCALIDAD : SANTIAGO TUXTLA

18.5 N; 95.3 W; 210 msnm

### Temperatura Ambiente

## PROMEDIOS HORARIOS



HORA ENE FEB MAR ABR MAY JUN JUL AGO SEP OCT NOV DIC

TORRIDO

**333333 SUBTEMPLO**

MUY CALIDO

WINTER FRI 10

**CALIDO**

**MUY FRÍO**

1111111111 TEMPLADO

(APLICABLE A PERSONAS ACLIMATADAS AL SITIO)

**LOCALIDAD : TANTOYUCA**

**21.4 N; 98.2 W; 215 msnm**

**Temperatura Ambiente**

**PROMEDIOS HORARIOS**



HORA ENE FEB MAR ABR MAY JUN JUL AGO SEP OCT NOV DIC

**TORRIDO**

**SUBTEMPLADO**

**MUY CALIDO**

**FRIÓ**

**CALIDO**

**MUY FRIÓ**

**TEMPLADO**

**(APLICABLE A PERSONAS ACLIMATADAS AL SITIO)**

LOCALIDAD : TIERRA BLANCA

18.5 N: 96.4 W: 60 msnm

### Temperatura Ambiente

## PROMEDIOS HORARIOS

HORA ENE FEB MAR ABR MAY JUN JUL AGO SEP OCT NOV DIC

TORR LDO

0000000 SUBTEMPLADO

MUY CALIDO

2025 RELEASE UNDER E.O. 14176

www.GALI.EDU

versión MUY ERBIO

**WILHELMUS TEMPLARO**

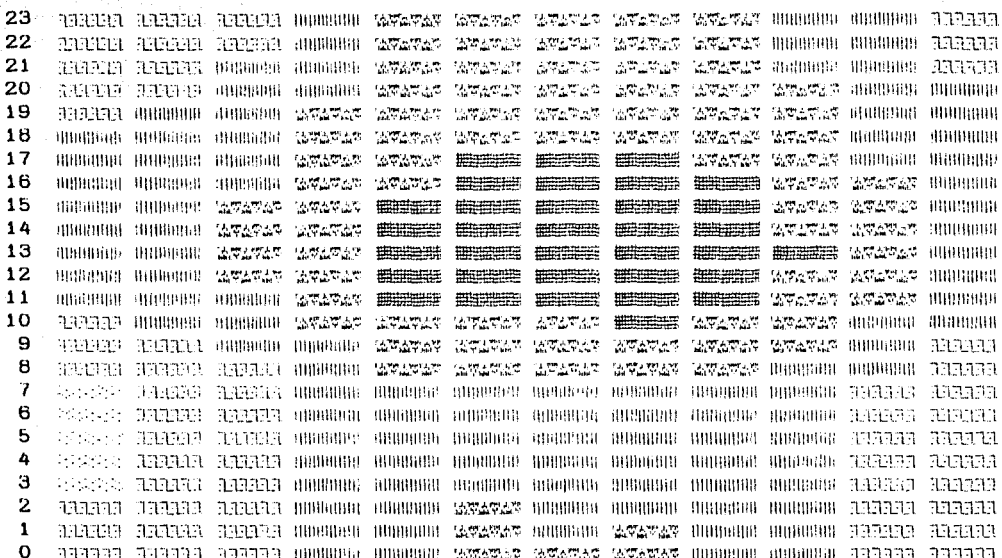
(APLICABLE A PERSONAS ACLIMATADAS AL SITIO)

LOCALIDAD : TUXPAN

21 N: 97.4 W: 15 msnm

### Temperatura Ambiente

## PROMEDIOS HORARIOS



HORA ENE FEB MAR ABR MAY JUN JUL AGO SEP OCT NOV DIC

**TORRIDO** **SUBTEMPLOADO**

 MUY CALIDO

**CALIDO**      **MUY FRIO**

TEMPLADO

(APLICABLE A PERSONAS ACLIMATADAS AL SITIO)

LOCALIDAD : VERACRUZ

19.2 N; 96 W; 16 msnm

### Temperatura Ambiente

## PROMEDIOS HORARIOS

HORA ENE FEB MAR ABR MAY JUN JUL AGO SEP OCT NOV DIC

TORRIDO

17000000 SUBTEMPLADO

MUY CALIDO

ANSWER

**ESTATE CALIDO**

000000 MUY FRIO

**TEMPLADO**

(APLICABLE A PERSONAS ACLIMATADAS AL SITIO)

#### 4.2 HUMEDAD RELATIVA

Las categorías o intervalos de humedad relativa usadas en esta tesis, se establecieron de manera más bien arbitraria. Se tomó como intervalo central aquél que contuviera a la  $HR = 50\%$ . Porque para obtener las recomendaciones de diseño arquitectónico o urbanístico con los diagramas de Oigay o Givoni (Figs. 4A y 4B), se considera que el centro de la zona de confort (Tudela, 1982; Pg. 52) corresponde al punto de coordenadas ( $T_p, HR = 50\%$ ).

La razón por la cual se presenta a la humedad categorizada, es esa misma incertidumbre de los resultados del proceso de simulación. No obstante, para este caso no se usa un higrópreferéndum, en cuya búsqueda se sigue trabajando.

Así los intervalos de humedad relativa quedan:

$HR \geq 90$ ; Muy Húmedo.

$70 < HR < 90$ ; Húmedo.

$50 < HR \leq 70$ ; Subhúmedo.

$25 < HR \leq 50$ ; Semiseco.

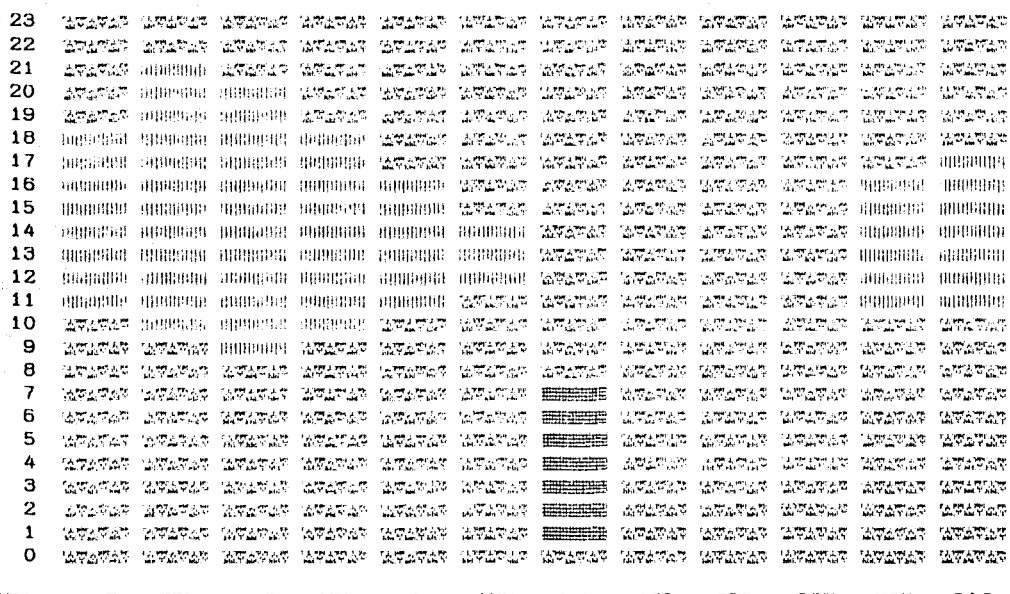
$HR \leq 25$ ; Seco.

**LOCALIDAD : ACAYUCAN**

18 N; 94.9 W; 90 msnm

### Humedad Relativa

## PROMEDIOS HORARIOS



HORA ENE FEB MAR ABR MAY JUN JUL AGO SEP OCT NOV DIC

**HUY HUMEDO**

22-1250 SEMI SECO

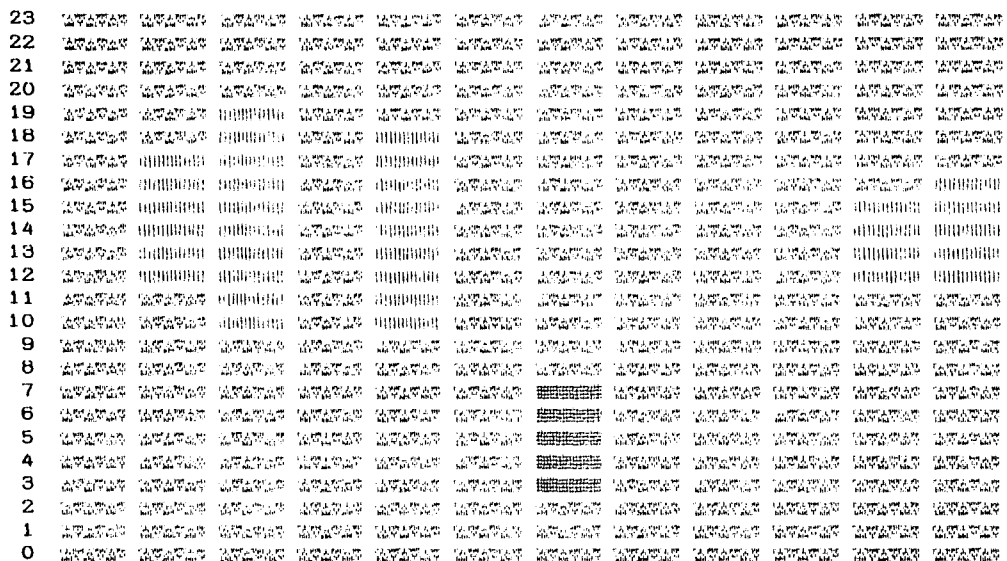
ESTADO HUMEDO

Document SECO

#### **SUBHUMEDO**

### Humedad Relativa

## PROMEDIOS HORARIOS



HORA ENE FEB MAR ABR MAY JUN JUL AGO SEP OCT NOV DIC

MUY HUMEDO

333333 SEMISECO

**HUMEDO**

**SECO**

 SUBHUMEDO

LOCAL HAN : ÇUKUHA

18.9 N: 96.9 W: 924 masna

Humedad Relativa

PROMEDIOS HORARIOS

HORA ENE FEB MAR ABR MAY JUN JUL AGO SEP OCT NOV DIC

HUY HUMEDO

HUMEDO

ESTRUCTURA CINQUEDO

卷之三

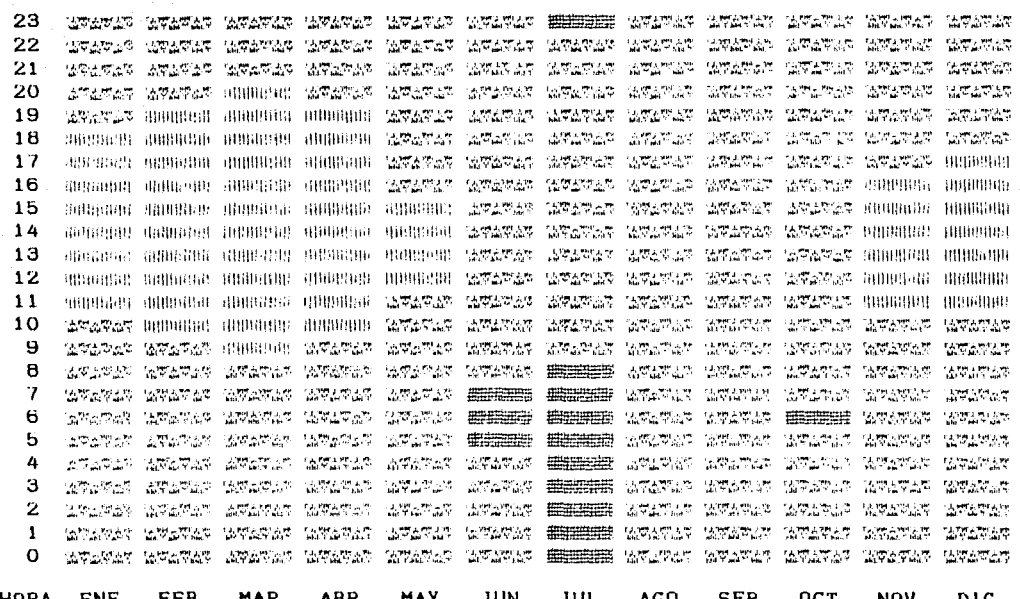
הנִגְמָן

LOCALIDAD : COSAMALOAPAN

18.4 N; 95.8 W; 96 msnm

### Humedad Relativa

## PROMEDIOS HORARIOS



HORA ENE FEB MAR ABR MAY JUN JUL AGO SEP OCT NOV DIC

MUY HUMEDO

SEM1SEG0

#### **TIERRAS HUMEDAS**

www.seco.com

 SUBHUMEDO

LOCALIDAD : CHICANTEPEC

21 N: 98.2 W: 595 msnm

### Humedad Relativa

### PROMEDIOS HORARIOS



HORA ENE FEB MAR ABR MAY JUN JUL AGO SEP OCT NOV DIC

MUY HUMEDO

333333 SEMISECO

**HUMEDO**

**SECUR**

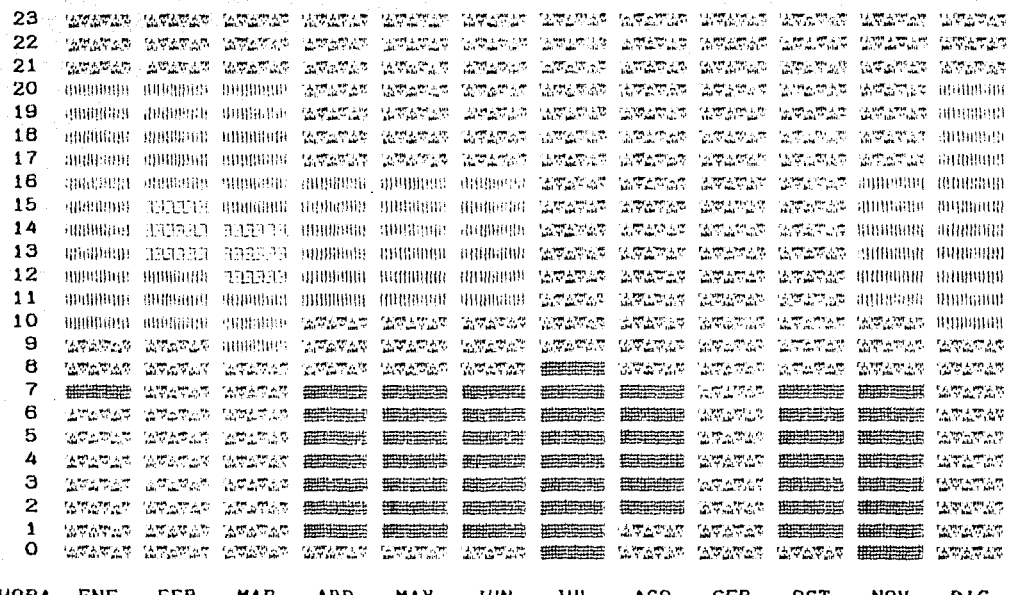
 SUBHUMEDO

LEGALIDAD : JAI AGING

19.8 N: 97.3 W: 1950 msnm

### Humedad Relativa

### **PROMEDIOS HORARIOS**



HORA ENE FEB MAR ABR MAY JUN JUL AGO SEP OCT NOV DIC

MUY HUMERO

SEMISICO

WERNER HUMEDO

WPSI-SECD

**SUBHUMEDO**

**LOCALIDAD : JALAPA**

19.5 N; 96.9 W; 1430 msnm

### Humedad Relativa

## PROMEDIOS HORARIOS



HORA ENE FEB MAR ABR MAY JUN JUL AGO SEP OCT NOV DIC

MUY HUMEDO

SEMISECO

**HUMEDO**

MARINA SECO

 SUBHUMEDO

**LOCALIDAD : JESUS CARRANZA**

17.4 N: 95 W: 20 msnd

### Humedad Relativa

## PROMEDIOS HORARIOS



HORA ENE FEB MAR ABR MAY JUN JUL AGO SEP OCT NOV DIC

MUY HUMEDO

SEMISECO

#### **SECCO HUMEDO**

Wegman SECO

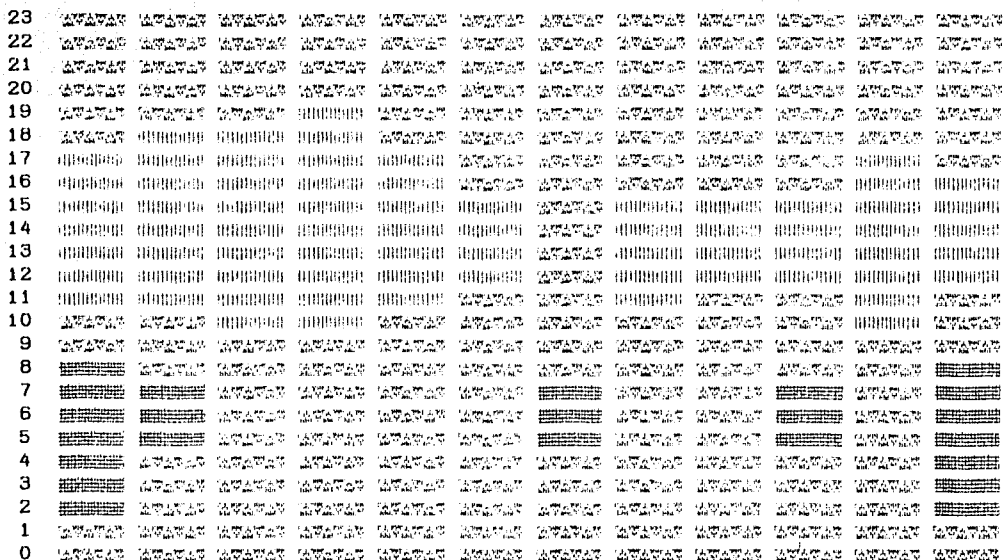
SUBHUMEDO

LOCALIDAD : JOSE CARDENAS

19.4 N: 96.4 W: 30 msnm

### Humedad Relativa

## PROMEDIOS HORARIOS



HORA ENE FEB MAR ABR MAY JUN JUL AGO SEP OCT NOV DIC

MUY HUMEDO

SEM I SECO

**HUMEDO**

SEC 00000000

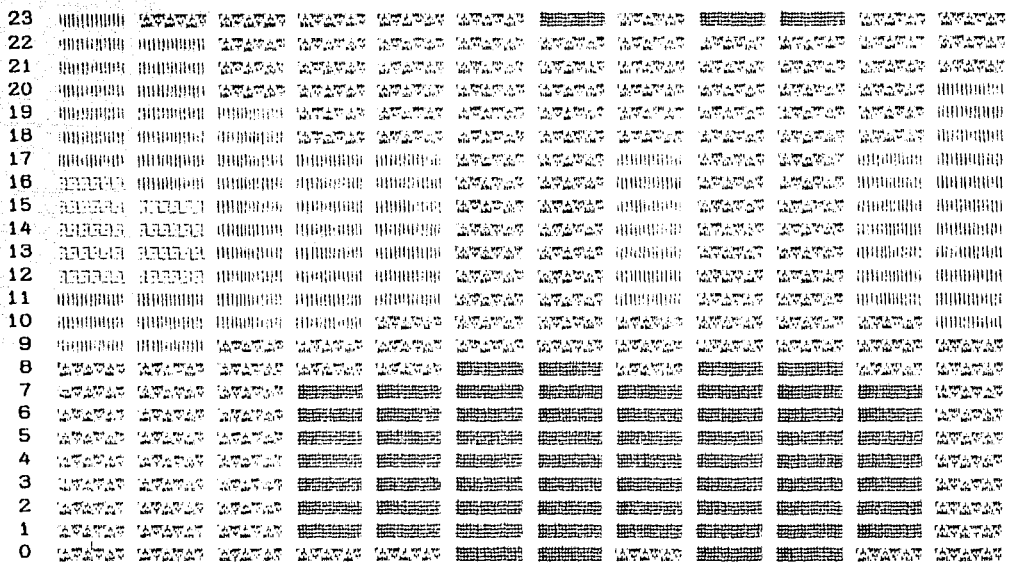
 SUBHUMEDO

LOCALIDAD : LAS VIGAS

19.6 N; 97.1 W; 2400 msnm

### Humedad Relativa

## PROMEDIOS HORARIOS



HORA ENE FEB MAR ABR MAY JUN JUL AGO SEP OCT NOV DIC

MUY HUMEDO

SEM I SECO

## **HUMEDO**

ANSWER SECO

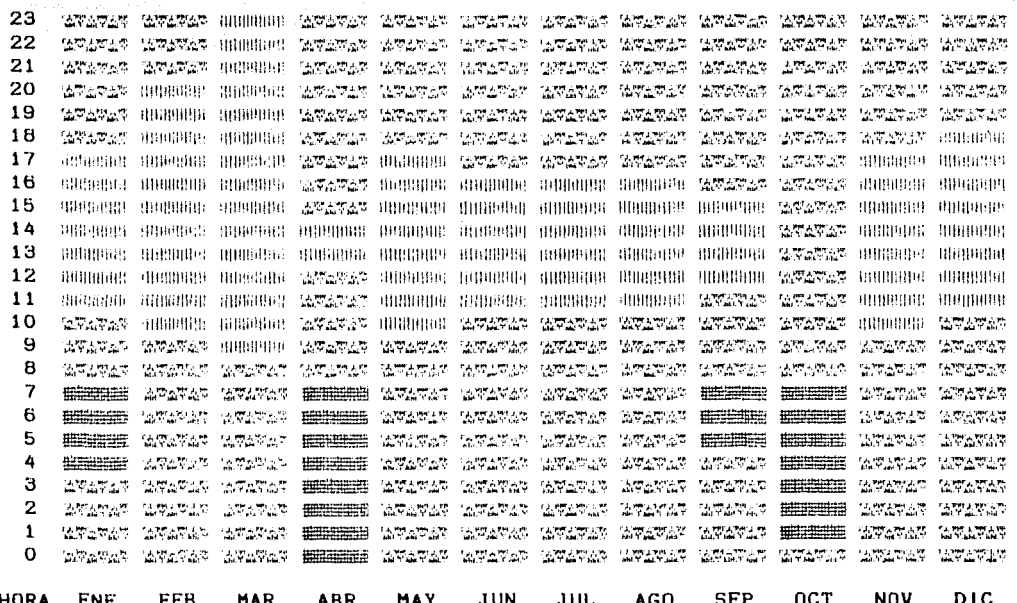
 SUBHUMEDO

**LOCALIDAD : MTZ DE LA TORRE**

20-1 N: 97 W: 150 msnm

### **Humedad Relativa**

## PROMEDIOS HORARIOS



HORA ENE FEB MAR ABR MAY JUN JUL AGO SEP OCT NOV DIC

MUY HUMEDO

SEM1SECO

**HUMEDO**

**SECO**

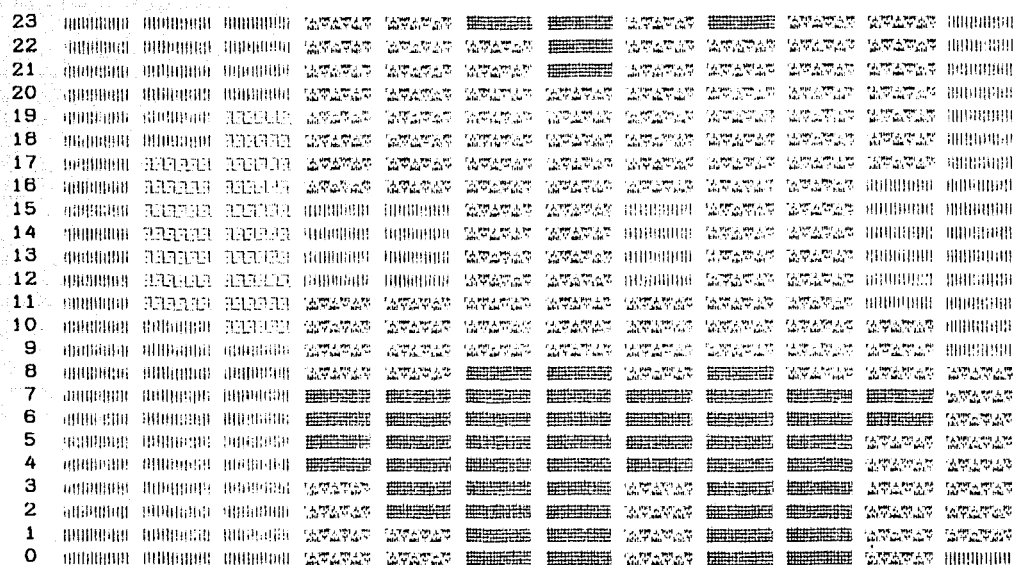
**SUBHUMEDO**

LOCALIDAD : MISANTLA

19.8 N: 96.8 W: 410 m.snm

#### Humedad Relativa

#### **PROMEDIOS HORARIOS**



HORA ENE FEB MAR ABR MAY JUN JUL AGO SEP OCT NOV DIC

MUY HUMEDO

SEMISECO

**HUMEDO**

SECO

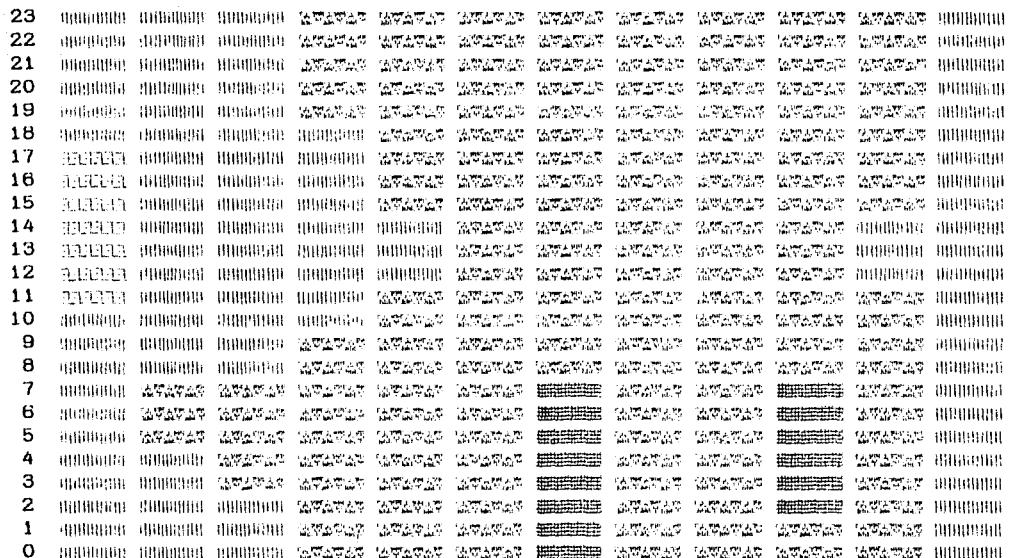
**SUBHUMEDO**

## LOCALIDAD : NANCHITAL

18.1 N; 94.4 W; 15 msnm

## Humedad Relativa

## PROMEDIOS HORARIOS



HORA ENE FEB MAR ABR MAY JUN JUL AGO SEP OCT NOV DIC

■■■ MUY HUMEDO

RECORRIDO SEMISECO

■■■■■ HUMEDO

■■■■■ SECO

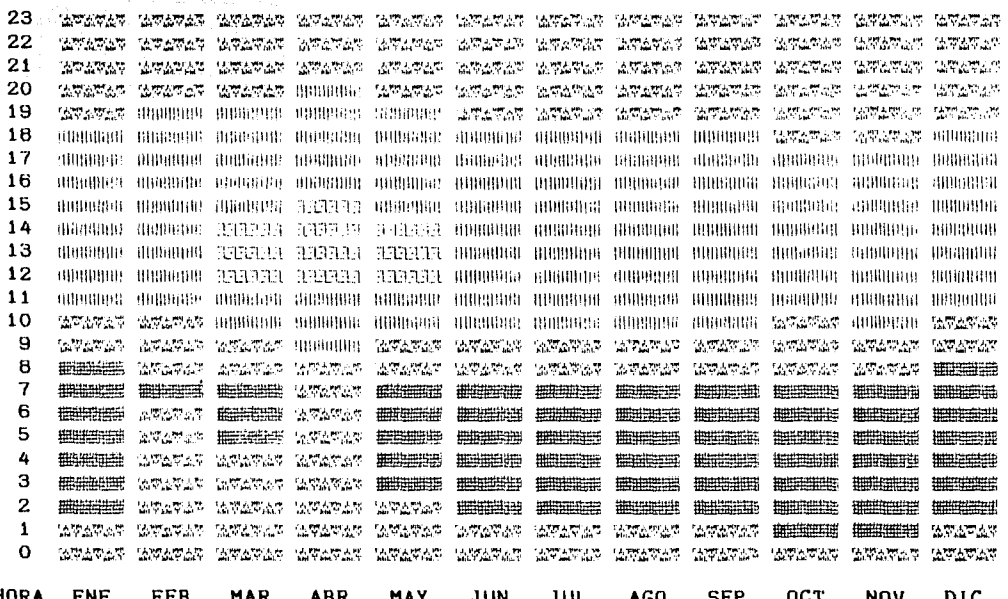
■■■■■■■ SUBHUMEDO

**LOCALIDAD : ORIZABA**

18.9 N; 97.1 W; 1284 msnm

### Humedad Relativa

## PROMEDIOS HORARIOS



~~REDACTED~~ **MIX NUMERO**

SEM 1 SECO

ESTADO HUMEDO

**SECO**

## SUBHUMEDO

LOCALIDAD : PANUCO

22 N: 98.2 W: 60 ~~msnm~~

### Humedad Relativa

### PROMEDIOS HORARIOS

HORA ENE FEB MAR ABR MAY JUN JUL AGO SEP OCT NOV DIC

MUY HUMEDO

SEMISECO

## **HUMEDO**

**SECO**

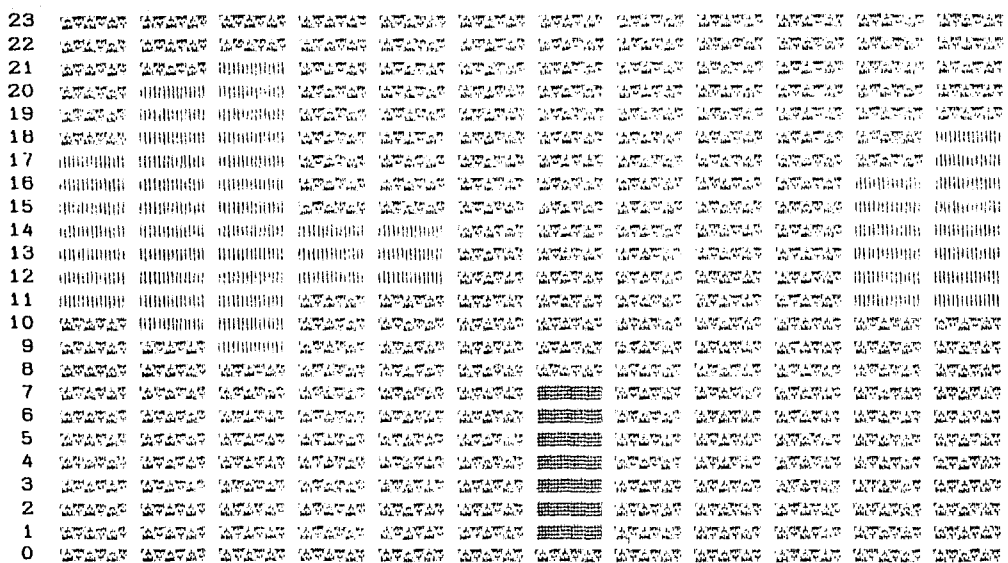
## **SUBHUMEDO**

**LOCALIDAD : PAPANTLA**

20.5 N: 97.3 W: 300 ~~m~~

### Humedad Relativa

### PROMEDIOS HORARIOS



HORA ENE FEB MAR ABR MAY JUN JUL AGO SEP OCT NOV DIC

MUY HUMEDO

SEMISECO

**HUMEDO**

**SECO**

## **SUBHUMEDO**

LOCALIDAD : POZA RICA

20.5 N: 97.5 W: 150 msnm

### Humedad Relativa

#### **PROMEDIOS HORARIOS**



HORA ENE FEB MAR ABR MAY JUN JUL AGO SEP OCT NOV DIC

MUY HUMEDO

SEMISECO

**HUMEDO**

SECC

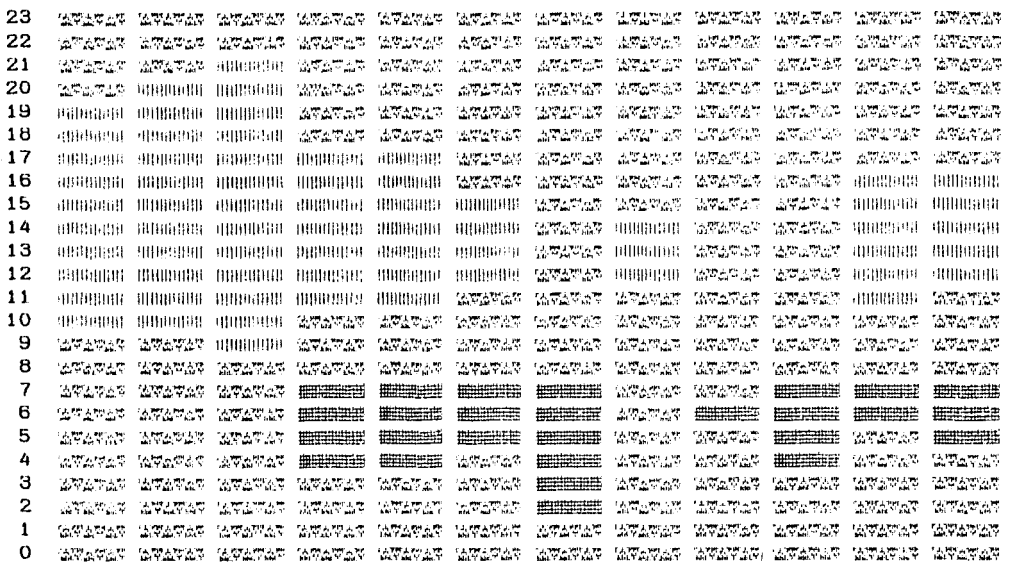
#### **SUBHUMEDO**

LOCALIDAD : SANTIAGO TUXTLA

18.5 N; 95.3 W; 210 msnm

### Humedad Relativa

### PROMEDIOS HORARIOS



**HORA ENE FEB MAR ABR MAY JUN JUL AGO SEP OCT NOV DIC**

MUY HUMEDO

SEMISECO

**HUMEDO**

**SECO**

 SUBHUMEDO

## LOCALIDAD : TANTOYUCA

21.4 N; 98.2 W; 215 msnm

## Humedad Relativa

## PROMEDIOS HORARIOS

23	ATAVAS
22	ATAVAS
21	ATAVAS
20	ATAVAS
19	ATAVAS
18	ATAVAS
17	ATAVAS
16	ATAVAS
15	ATAVAS
14	ATAVAS
13	ATAVAS
12	ATAVAS
11	ATAVAS
10	ATAVAS
9	ATAVAS
8	ATAVAS
7	ATAVAS
6	ATAVAS
5	ATAVAS
4	ATAVAS
3	ATAVAS
2	ATAVAS
1	ATAVAS
0	ATAVAS

HORA ENE FEB MAR ABR MAY JUN JUL AGO SEP OCT NOV DIC

■■■■■ MUY HUMEDO

■■■■■ SEMISECO

■■■■■ ATAVAS HUMEDO

■■■■■ SECO

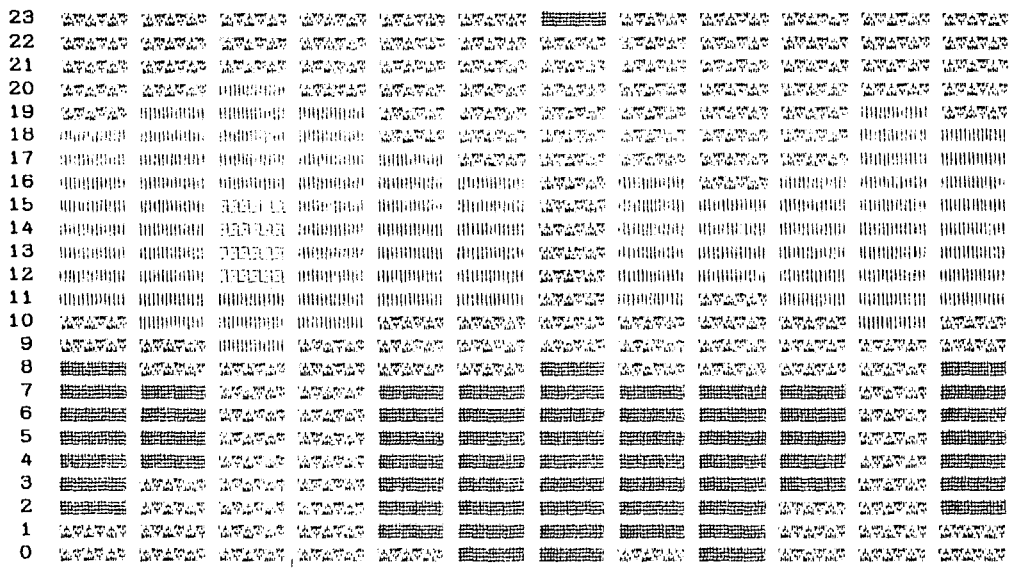
■■■■■ SUBHUMEDO

LOCALIDAD : TIERRA BLANCA

18.5 N: 96.4 W: 60 msnm

### Humedad Relativa

### PROMEDIOS HORARIOS



HORA ENE FEB MAR ABR MAY JUN JUL AGO SEP OCT NOV DIC

 MUY HUMEDO

SEMISECO

**HUMEDO**

**SECO**

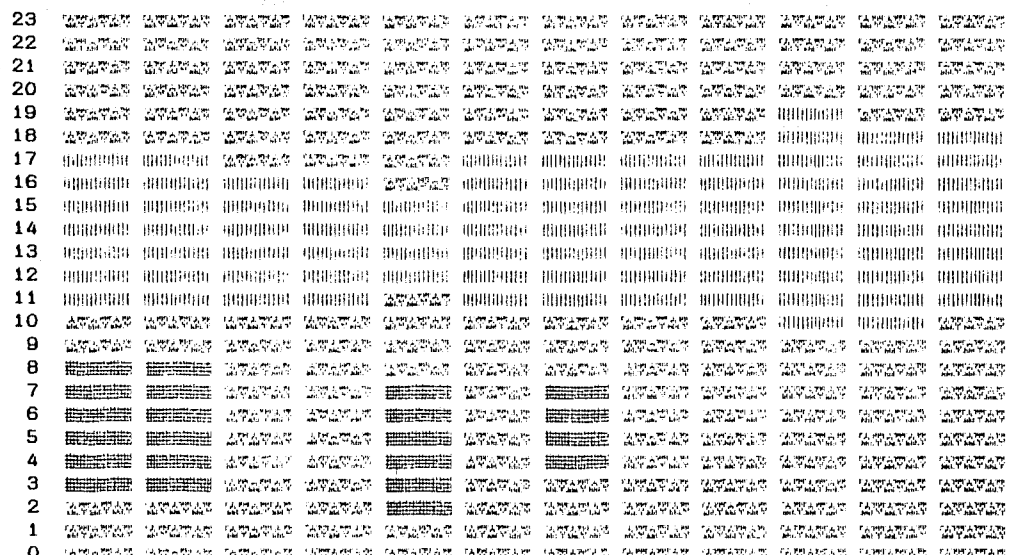
## SUBHUMEDO

**LOCALIDAD : TUXPAN**

**21 N; 97.4 W; 15 msnm**

**Humedad Relativa**

**PROMEDIOS HORARIOS**



HORA ENE FEB MAR ABR MAY JUN JUL AGO SEP OCT NOV DIC

■■■■■ MUY HUMEDO

■■■■■ SEMISECO

■■■■■ HUMEDO

■■■■■ SECO

■■■■■ SUBHUMEDO

**LOCALIDAD : VERACRUZ**

**19.2 N; 96 W; 16 msnm**

**Humedad Relativa**

**PROMEDIOS HORARIOS**



HORA ENE FEB MAR ABR MAY JUN JUL AGO SEP OCT NOV DIC

■■■■■ MUY HUMEDO

■■■■■ SEMISECO

■■■■■ HUMEDO

■■■■■ SECO

■■■■■ SUBHUMEDO

#### 4.3 INDICE DE CONFORT.

Jáuregui y Soto (1967) usan el índice de incomodidad como la suma ( $T + Tw$ ). Aquí se entenderá por índice de confort la semisuma:

$$IC = \frac{T + Tw}{2} \quad (4.2)$$

cuyos valores oscilan en el rango común de la temperatura ambiente. El propósito es evaluar conjuntamente el efecto de la temperatura y la humedad. Conocidos los valores extremos medios mensuales de  $T$  y  $Tw$ , se calcularon el  $IC_{max}$  y el  $IC_{min}$  medios mensuales. Es claro que el IC debe seguir una marcha diaria similar a la Fig. 3; es decir, que es válido usar como modelo de simulación de su marcha diaria media mensual una ecuación similar a la (3.2):

$$IC_M = IC_{min} + Y (IC_{max} - IC_{min}) \quad (4.3)$$

donde  $Y$  tiene la expresión de (3.1).

De manera similar a como se hizo con la temperatura, se postularon intervalos de IC a partir de un valor preferente para los habitantes aclimatados en cada lugar. Se extendió la expresión 4.1 para definir el índice de confort preferente:

$$IC_p = 17.2^{\circ}\text{C} + \frac{IC \text{ medio mensual}}{2} \quad (4.4)$$

Los intervalos, entonces, quedaron así:

$IC > IC_p + 10$ ; Sofocante

$IC_p + 6 \leq IC \leq IC_p + 10$ ; Bochornoso.

$IC_p + 2 \leq IC < IC_p + 6$ ; Caluroso

$IC_p - 2 \leq IC < IC_p + 2$ ; Agradable

$IC_p - 6 \leq IC < IC_p - 2$ ; Fresco

$IC_p - 10 \leq IC < IC_p - 6$ ; Frío.

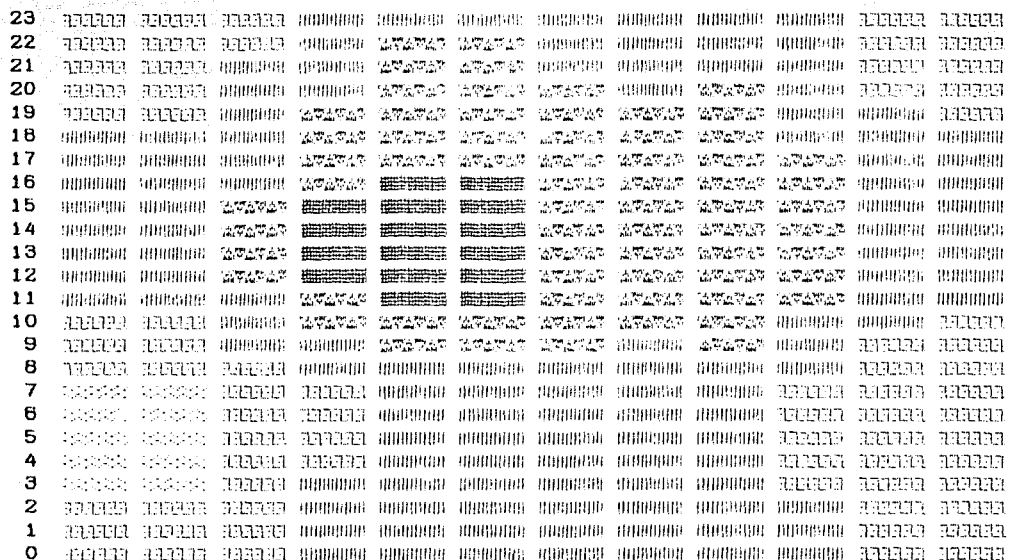
$IC < IC_p - 10$ ; Gélido

LOCALIDAD : ACAYUCAN

18 N; 94.9 W; 90 msnm

Indice de Confort

PROMEDIOS HORARIOS



HORA ENE FEB MAR ABR MAY JUN JUL AGO SEP OCT NOV DIC

██████ SOFOCANTE RRRRRR FRESCO

██████ BOCHORNOSO RRRRRR FRIO

██████ CALUROSO RRRRRR GELIDO

██████ AGRADABLE

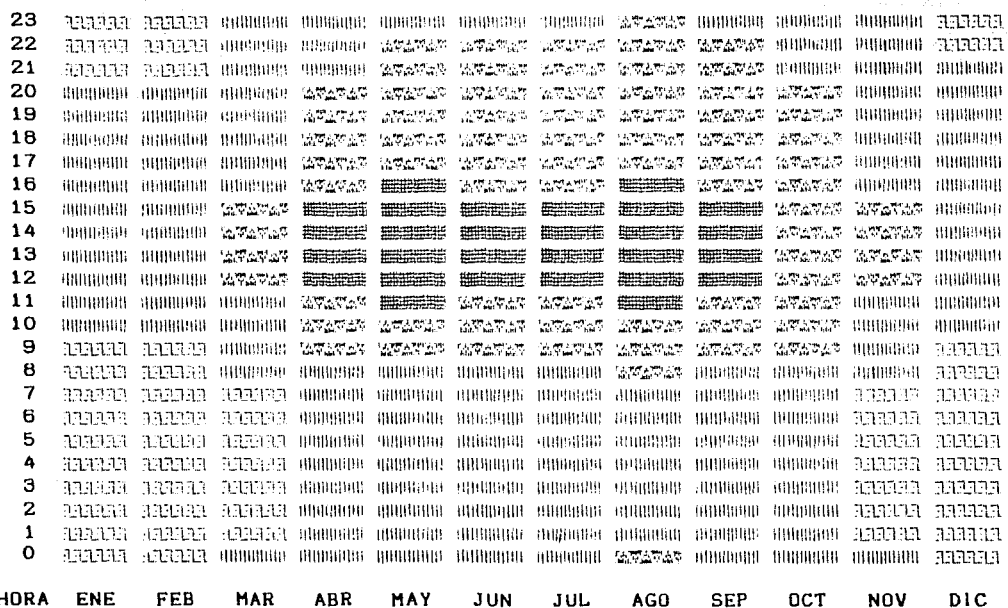
(APLICABLE A PERSONAS ACLIMATADAS AL SITIO)

LOCALIDAD : ALVARADO

18.7 N: 95.8 W: 10 msnm

## Indice de Confort

## PROMEDIOS HORARIOS



HORA ENE FEB MAR ABR MAY JUN JUL AGO SEP OCT NOV DIC

**██████ SOFOCANTE** **██████ FRESCO**

 BOCHORNOSO  FRIÓ

**CALUROSO**      **GELIDO**

#### **AGRADABLE**

(APLICABLE A PERSONAS ACLIMATADAS AL SITIO)

LOCAL IDAD : CORDOBA

18.8 N: 96.9 W: 924 msnpm

## Indice de Confort

## PROMEDIOS HORARIOS

HORA ENE FEB MAR ABR MAY JUN JUL AGO SEP OCT NOV DIC

**SOFOCANTE** **FRESCO**

**BOCHORNOSO** **FRIÓ**

**CALUROSO**      **GELIDO**

 AGRADABLE

(APLICABLE A PERSONAS ACLIMATADAS AL SITIO)

LOCALIDAD : COSAMALOAPAN

18.4 N: 95.8 W: 96 աստղ

## Indice de Confort

### **PROMEDIOS HORARIOS**

HORA ENE FEB MAR ABR MAY JUN JUL AGO SEP OCT NOV DIC

**SOFOCANTE** **FRESCO**

 BOCHORNOSO  FRIÓ

**CALUROSO** **GELIDO**

**AGRADABLE**

**(APLICABLE A PERSONAS ACLIMATADAS AL SITIO)**

**LOCALIDAD : CHICONTEPEC**

**21 N; 98.2 W; 595 msnm**

**Indice de Confort**

**PROMEDIOS HORARIOS**

23	0000000 0000000 0000000 0000000 0000000 0000000 0000000 0000000 0000000 0000000 0000000 0000000 0000000 0000000
22	0000000 0000000 0000000 0000000 0000000 0000000 0000000 0000000 0000000 0000000 0000000 0000000 0000000 0000000
21	0000000 0000000 0000000 0000000 0000000 0000000 0000000 0000000 0000000 0000000 0000000 0000000 0000000 0000000
20	0000000 0000000 0000000 0000000 0000000 0000000 0000000 0000000 0000000 0000000 0000000 0000000 0000000 0000000
19	0000000 0000000 0000000 0000000 0000000 0000000 0000000 0000000 0000000 0000000 0000000 0000000 0000000 0000000
18	0000000 0000000 0000000 0000000 0000000 0000000 0000000 0000000 0000000 0000000 0000000 0000000 0000000 0000000
17	0000000 0000000 0000000 0000000 0000000 0000000 0000000 0000000 0000000 0000000 0000000 0000000 0000000 0000000
16	0000000 0000000 0000000 0000000 0000000 0000000 0000000 0000000 0000000 0000000 0000000 0000000 0000000 0000000
15	0000000 0000000 0000000 0000000 0000000 0000000 0000000 0000000 0000000 0000000 0000000 0000000 0000000 0000000
14	0000000 0000000 0000000 0000000 0000000 0000000 0000000 0000000 0000000 0000000 0000000 0000000 0000000 0000000
13	0000000 0000000 0000000 0000000 0000000 0000000 0000000 0000000 0000000 0000000 0000000 0000000 0000000 0000000
12	0000000 0000000 0000000 0000000 0000000 0000000 0000000 0000000 0000000 0000000 0000000 0000000 0000000 0000000
11	0000000 0000000 0000000 0000000 0000000 0000000 0000000 0000000 0000000 0000000 0000000 0000000 0000000 0000000
10	0000000 0000000 0000000 0000000 0000000 0000000 0000000 0000000 0000000 0000000 0000000 0000000 0000000 0000000
9	0000000 0000000 0000000 0000000 0000000 0000000 0000000 0000000 0000000 0000000 0000000 0000000 0000000 0000000
8	0000000 0000000 0000000 0000000 0000000 0000000 0000000 0000000 0000000 0000000 0000000 0000000 0000000 0000000
7	0000000 0000000 0000000 0000000 0000000 0000000 0000000 0000000 0000000 0000000 0000000 0000000 0000000 0000000
6	0000000 0000000 0000000 0000000 0000000 0000000 0000000 0000000 0000000 0000000 0000000 0000000 0000000 0000000
5	0000000 0000000 0000000 0000000 0000000 0000000 0000000 0000000 0000000 0000000 0000000 0000000 0000000 0000000
4	0000000 0000000 0000000 0000000 0000000 0000000 0000000 0000000 0000000 0000000 0000000 0000000 0000000 0000000
3	0000000 0000000 0000000 0000000 0000000 0000000 0000000 0000000 0000000 0000000 0000000 0000000 0000000 0000000
2	0000000 0000000 0000000 0000000 0000000 0000000 0000000 0000000 0000000 0000000 0000000 0000000 0000000 0000000
1	0000000 0000000 0000000 0000000 0000000 0000000 0000000 0000000 0000000 0000000 0000000 0000000 0000000 0000000
0	0000000 0000000 0000000 0000000 0000000 0000000 0000000 0000000 0000000 0000000 0000000 0000000 0000000 0000000

HORA ENE FEB MAR ABR MAY JUN JUL AGO SEP OCT NOV DIC

**██████████ SOFOCANTE 0000000 FRESCO**

**██████████ BOCHORNOSO 0000000 FRIO**

**██████████ CALUROSO 0000000 GELIDO**

**██████████ AGRADABLE**

**(APLICABLE A PERSONAS ACLIMATADAS AL SITIO)**

LOCALIDAD : JALACINGO

19.8 N; 97.3 W; 1950 msnm

Indice de Confort

PROMEDIOS HORARIOS

23	0000000 0000000 0000000 0000000 0000000 0000000 0000000 0000000 0000000 0000000 0000000 0000000
22	0000000 0000000 0000000 0000000 0000000 0000000 0000000 0000000 0000000 0000000 0000000 0000000
21	0000000 0000000 0000000 0000000 0000000 0000000 0000000 0000000 0000000 0000000 0000000 0000000
20	0000000 0000000 0000000 0000000 0000000 0000000 0000000 0000000 0000000 0000000 0000000 0000000
19	0000000 0000000 0000000 0000000 0000000 0000000 0000000 0000000 0000000 0000000 0000000 0000000
18	0000000 0000000 0000000 0000000 0000000 0000000 0000000 0000000 0000000 0000000 0000000 0000000
17	0000000 0000000 0000000 0000000 0000000 0000000 0000000 0000000 0000000 0000000 0000000 0000000
16	0000000 0000000 0000000 0000000 0000000 0000000 0000000 0000000 0000000 0000000 0000000 0000000
15	0000000 0000000 0000000 0000000 0000000 0000000 0000000 0000000 0000000 0000000 0000000 0000000
14	0000000 0000000 0000000 0000000 0000000 0000000 0000000 0000000 0000000 0000000 0000000 0000000
13	0000000 0000000 0000000 0000000 0000000 0000000 0000000 0000000 0000000 0000000 0000000 0000000
12	0000000 0000000 0000000 0000000 0000000 0000000 0000000 0000000 0000000 0000000 0000000 0000000
11	0000000 0000000 0000000 0000000 0000000 0000000 0000000 0000000 0000000 0000000 0000000 0000000
10	0000000 0000000 0000000 0000000 0000000 0000000 0000000 0000000 0000000 0000000 0000000 0000000
9	0000000 0000000 0000000 0000000 0000000 0000000 0000000 0000000 0000000 0000000 0000000 0000000
8	0000000 0000000 0000000 0000000 0000000 0000000 0000000 0000000 0000000 0000000 0000000 0000000
7	0000000 0000000 0000000 0000000 0000000 0000000 0000000 0000000 0000000 0000000 0000000 0000000
6	0000000 0000000 0000000 0000000 0000000 0000000 0000000 0000000 0000000 0000000 0000000 0000000
5	0000000 0000000 0000000 0000000 0000000 0000000 0000000 0000000 0000000 0000000 0000000 0000000
4	0000000 0000000 0000000 0000000 0000000 0000000 0000000 0000000 0000000 0000000 0000000 0000000
3	0000000 0000000 0000000 0000000 0000000 0000000 0000000 0000000 0000000 0000000 0000000 0000000
2	0000000 0000000 0000000 0000000 0000000 0000000 0000000 0000000 0000000 0000000 0000000 0000000
1	0000000 0000000 0000000 0000000 0000000 0000000 0000000 0000000 0000000 0000000 0000000 0000000
0	0000000 0000000 0000000 0000000 0000000 0000000 0000000 0000000 0000000 0000000 0000000 0000000

HORA ENE FEB MAR ABR MAY JUN JUL AGO SEP OCT NOV DIC

██████████ SOFOCANTE	██████████ FRESCO
██████████ BOCHORNOSO	██████████ FRIO
██████████ CALUROSO	██████████ GELIDO
██████████ AGRADABLE	

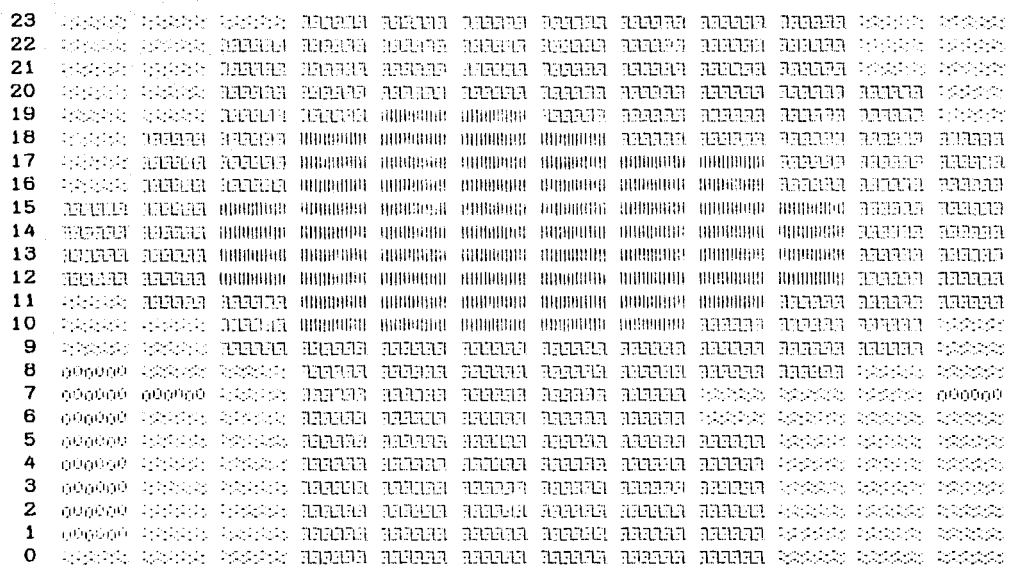
(APLICABLE A PERSONAS ACLIMATADAS AL SITIO)

LOCALIDAD : JALAPA

19.5 N; 96.9 W; 1430 msnm

### Indice de Confort

## PROMEDIOS HORARIOS



HORA ENE FEB MAR ABR MAY JUN JUL AGO SEP OCT NOV DIC

**SOFOCANTE** **REFRESCANTE** **FRESCO**

 BOCHORNOSO  FRIÓ

**ESTADO CALUROSO** 0000000 **GELIDO**

 AGRADABLE

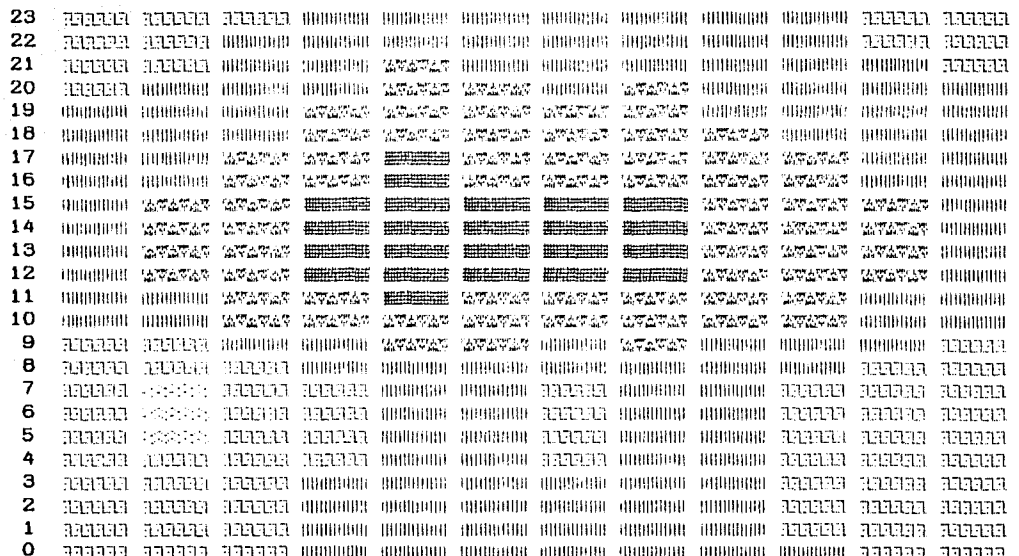
(APLICABLE A PERSONAS ACLIMATADAS AL SITIO)

LOCALIDAD : JESUS CARRANZA

17.4 N; 95 W; 20 msnm

Indice de Confort

PROMEDIOS HORARIOS



HORA ENE FEB MAR ABR MAY JUN JUL AGO SEP OCT NOV DIC

██████ SOFOCANTE

██████ FRESCO

██████ BOCHORNOSO

██████ FRIO.

██████ CALUROSO

██████ GELIDO

██████ AGRADABLE



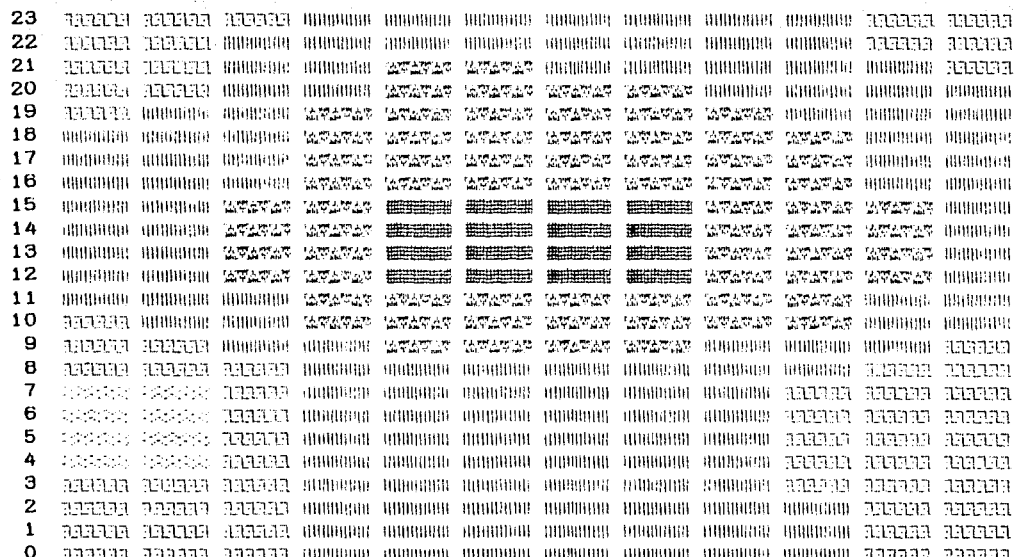
(APLICABLE A PERSONAS ACLIMATADAS AL SITIO)

LOCALIDAD : JOSE CARDENAL

18.4 N; 96.4 W; 30 msnm

Indice de Confort

PROMEDIOS HORARIOS



HORA ENE FEB MAR ABR MAY JUN JUL AGO SEP OCT NOV DIC

██████ SOFOCANTE	████████ FRESCO
██████ BOCHORNOSO	██████ FRIO
██████ CALUROSO	████████ GELIDO
██████ AGRADABLE	

(APLICABLE A PERSONAS ACLIMATADAS AL SITIO)

LOCALIDAD : LAS VIGAS

19.6 N; 97.1 W; 2400 msnm

Indice de Confort

PROMEDIOS HORARIOS

23	000000 000000 000000 000000 000000 000000 000000 000000 000000 000000 000000 000000
22	000000 000000 000000 000000 000000 000000 000000 000000 000000 000000 000000 000000
21	000000 000000 000000 000000 000000 000000 000000 000000 000000 000000 000000 000000
20	000000 000000 000000 000000 000000 000000 000000 000000 000000 000000 000000 000000
19	000000 000000 000000 000000 000000 000000 000000 000000 000000 000000 000000 000000
18	000000 000000 000000 000000 000000 000000 000000 000000 000000 000000 000000 000000
17	000000 000000 000000 000000 000000 000000 000000 000000 000000 000000 000000 000000
16	000000 000000 000000 000000 000000 000000 000000 000000 000000 000000 000000 000000
15	000000 000000 000000 000000 000000 000000 000000 000000 000000 000000 000000 000000
14	000000 000000 000000 000000 000000 000000 000000 000000 000000 000000 000000 000000
13	000000 000000 000000 000000 000000 000000 000000 000000 000000 000000 000000 000000
12	000000 000000 000000 000000 000000 000000 000000 000000 000000 000000 000000 000000
11	000000 000000 000000 000000 000000 000000 000000 000000 000000 000000 000000 000000
10	000000 000000 000000 000000 000000 000000 000000 000000 000000 000000 000000 000000
9	000000 000000 000000 000000 000000 000000 000000 000000 000000 000000 000000 000000
8	000000 000000 000000 000000 000000 000000 000000 000000 000000 000000 000000 000000
7	000000 000000 000000 000000 000000 000000 000000 000000 000000 000000 000000 000000
6	000000 000000 000000 000000 000000 000000 000000 000000 000000 000000 000000 000000
5	000000 000000 000000 000000 000000 000000 000000 000000 000000 000000 000000 000000
4	000000 000000 000000 000000 000000 000000 000000 000000 000000 000000 000000 000000
3	000000 000000 000000 000000 000000 000000 000000 000000 000000 000000 000000 000000
2	000000 000000 000000 000000 000000 000000 000000 000000 000000 000000 000000 000000
1	000000 000000 000000 000000 000000 000000 000000 000000 000000 000000 000000 000000
0	000000 000000 000000 000000 000000 000000 000000 000000 000000 000000 000000 000000

HORA ENE FEB MAR ABR MAY JUN JUL AGO SEP OCT NOV DIC

██████ SOFOCANTE	██████ FRESCO
██████ BOCHORNOSO	██████ FRIO
██████ CALUROSO	000000 GELIDO
██████████ AGRADABLE	

(APLICABLE A PERSONAS ACLIMATADAS AL SITIO)

LOCALIDAD : MTZ DE LA TORRE

20.1 N; 97 W; 150 mnm

## Indice de Confort

## PROMEDIOS HORARIOS

HORA ENE FEB MAR ABR MAY JUN JUL AGO SEP OCT NOV DIC

**SODOCANTE** **FRESCO**

**BOCHORNOSO** **FRÍO**

**Introduz CALIPIOSE** **Introduz CELIPOSE**

#### **ACRADIABLE**

(APLICABLE A PERSONAS ACLIMATADAS AL SITIO)

**LOCALIDAD : MISANTLA**

**19.9 N; 96.8 W; 410 msnm**

**Indice de Confort**

**PROMEDIOS HORARIOS**



**██████ SOFOCANTE**

**██████ FRESCO**

**██████ BOCHORNOSO**

**██████ FRIO**

**██████ CALUROSO**

**██████ GELIDO**

**██████ AGRADABLE**

**(APLICABLE A PERSONAS ACLIMATADAS AL SITIO)**

**LOCALIDAD : NANCHITAL**

**18.1 N; 94.4 W; 15 msnm**

**Indice de Confort**

**PROMEDIOS HORARIOS**



HORA ENE FEB MAR ABR MAY JUN JUL AGO SEP OCT NOV DIC

**██████ SOFOCANTE**

**██████ FRESCO**

**█████ BOCHORNOSO**

**██████ FRIO**

**████ CALUROSO**

**████ GELIDO**

**██████ AGRADABLE**

**(APLICABLE A PERSONAS ACLIMATADAS AL SITIO)**

LOCALIDAD : ORIZABA

18.9 N: 97.1 W: 1284 esn

### Indice de Confort

#### **PROMEDIOS HORARIOS**

HORA ENE FEB MAR ABR MAY JUN JUL AGO SEP OCT NOV DIC

**SOFOCANTE** **FRESCO**

 BOCHORNOSO  FRIÓ

**CALUROSO** 000000 **GELIDO**

 AGRADABLE

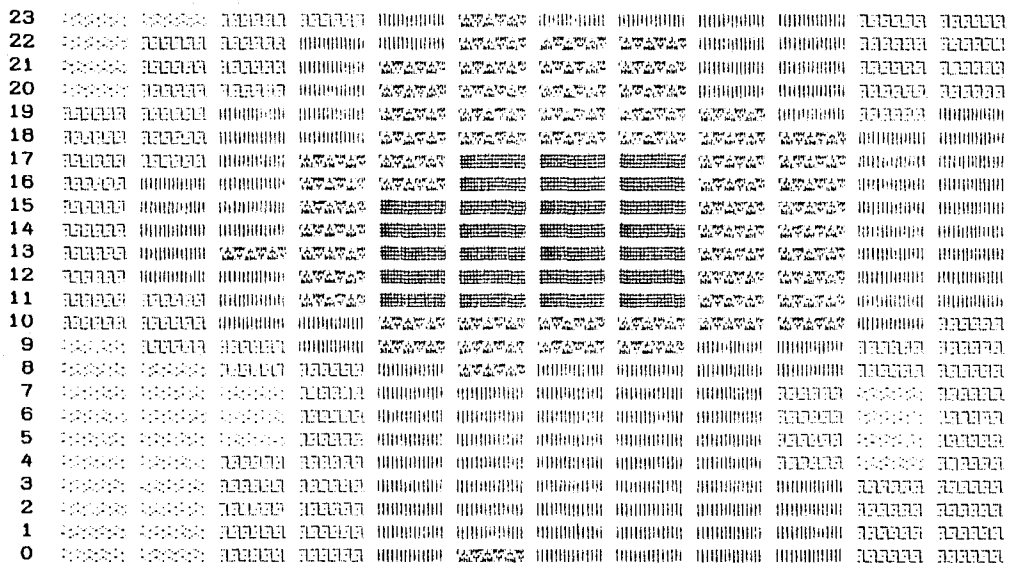
(APLICABLE A PERSONAS ACLIMATADAS AL SITIO)

**LOCALIDAD : PANUCO**

22 N; 98.2 W; 60 msnm

### Indice de Confort

### **PROMEDIOS HORARIOS**



HORA ENE FEB MAR ABR MAY JUN JUL AGO SEP OCT NOV DIC

SOFOCANTE

Digitized by EBSCO

**BOCHORNOSO**

Page 10

**CALUROSO**

#### **Information GEI-100**

**AGRADABLE**

(APLICABLE A PERSONAS ACLIMATADAS AL SITIO)

LOCALIDAD : POZA RICA

20.5 N; 97.5 W; 150 msnm

## Indice de Confort

## PROMEDIOS HORARIOS



HORA ENE FEB MAR ABR MAY JUN JUL AGO SEP OCT NOV DIC

**SOFOCANTE** **FRESCO**

 BOCHORNOSO 100% FRÍO

**ESTATE CALUROSO** 0000000 GELIDO

#### **AGRADABLE**

(APLICABLE A PERSONAS ACLIMATADAS AL SITIO)

LOCALIDAD : SANTIAGO TUXTLA

18.5 N: 95.3 W: 210 msnm

## Índice de Conforto

PROMERIOS HOBARIOS

HORA ENE FEB MAR ABR MAY JUN JUL AGO SEP OCT NOV DIC

**SOFOCANTE** **FRESCA**

**BOCHORNOSO** **FRIO**

**CALUROSO** **GELIDO**

**AGRADABLE**

(APLICABLE A PERSONAS ACLIMATADAS AL SITIO)

**LOCALIDAD : TANTOYUCA**

**21.4 N; 98.2 W; 215 msnm**

**Indice de Confort**

**PROMEDIOS HORARIOS**



HORA ENE FEB MAR ABR MAY JUN JUL AGO SEP OCT NOV DIC

■■■■■ SOFOCANTE      ||||| FRESCO  
■■■■■ BOCHORNOSO      ||||| FRIO  
||||| CALUROSO      000000 GELIDO  
||||| AGRADABLE

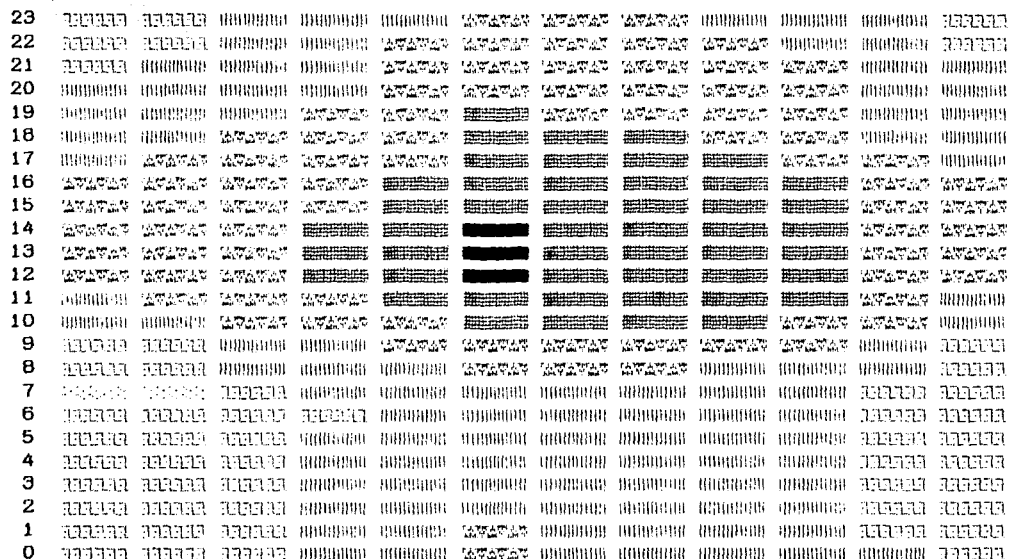
(APLICABLE A PERSONAS ACLIMATADAS AL SITIO)

**LOCALIDAD : TIERRA BLANCA**

**18.5 N; 96.4 W; 60 msnm**

**Indice de Confort**

**PROMEDIOS HORARIOS**



HORA ENE FEB MAR ABR MAY JUN JUL AGO SEP OCT NOV DIC

**SOFOCANTE**

**FRESCO**

**BOCHORNOSO**

**FRIO**

**CALUROSO**

**GELIDO**

**AGRADABLE**

**(APLICABLE A PERSONAS ACLIMATADAS AL SITIO)**

LOCALIDAD : TUXPAN

21 N: 97.4 W: 15 msnm

## Indice de Confort

### PROMEDIOS HORARIOS

HORA ENE FEB MAR ABR MAY JUN JUL AGO SEP OCT NOV DIC

SOERGANTE

3333333 FRESCO

ROCHORNOSO

MARSHAL FRIE

ESTATE CALUROSO

000000 GELIDO

AGRADABLE

(APLICABLE A PERSONAS ACLIMATADAS AL SITIO)

LOCALIDAD : VERACRUZ

19.2 N: 96 W: 16 esnra

### Indice de Confort

### **PROMEDIOS HORARIOS**

HORA ENE FEB MAR ABR MAY JUN JUL AGO SEP OCT NOV DIC

**SOFOCANTE** **FRESCO**

 BOCHORNOSO

~~INTENSO CALUROSO~~ 000000 GELIDO

### **AGRADABLE**

(APLICABLE A PERSONAS ACLIMATADAS AL SITIO)

## 5. DISCUSION Y RESULTADOS

Las tablas del capítulo anterior corresponden a 22 sitios del estado de Veracruz, distribuidos como lo muestra el mapa de la Fig. 1. Se les puede agrupar, para su interpretación, en seis:

- I. Los que están sobre la linea costera, cuyas altitudes son del orden de las decenas de metros: Tuxpan, 15 m; José Cardel, 30 m; Veracruz, 16 m; Nanchital, 15 m, y Alvarado, 10 m.
- II. Localidades ubicadas en el interior de la planicie costera al norte, con altitudes por abajo de los 200 m: Pánuco, 60 m; Martínez de la Torre, 150 m; Poza Rica, 150 m, y Tantoyuca, 215 m.
- III. Los que están en el interior de la planicie costera, pero al sur del estado: Tierra Blanca, con una altitud de 60 m; Santiago Tuxtla, 210 m; Jesús Carranza, 20 m, y Cosamaloapan, 96 m.
- IV. Localidades en las faldas de la Sierra Madre, con altitudes alrededor de los 500 m: Misantla, 410 m; Papantla, 300 m, y Chicontepec, 595 m.
- V. Sitios ubicados a mitad de la Sierra, con altitudes que van de 1000 a 1500 m: Jalapa, 1430 m; Orizaba, 1280 m y Córdoba, 924 m.
- VI. Puntos frios de la sierra, a barlovento, con altitudes aproximadas a los 2000 m: Jalacingo y Las Vigas.

La agrupación anterior se debe a la coexistencia en el estado de Veracruz de la Sierra Madre Oriental y la Planicie Costera, como elementos fisiográficos más destacados (Jáuregui y Soto, 1975). Las invasiones de masas de aire polar en el invierno y tropical en el verano, junto con la extensión de la Planicie -que alrededor de los 19°N alcanza su máximo estrechamiento en la sierra de Misantla- moldean los climas de Veracruz, al sobreponerse al ciclo diario terral-brisa marina, más persistente cuando no hay nortes, sobre todo si la brisa marina se asocia con los vientos alisios (Tejeda, Acevedo y Jáuregui, 1989).

Así, en términos de confort higrotérmico son de destacarse las situaciones particularmente bochornosas -cuando no definitivamente sofocantes-, frecuentes en el interior de la planicie costera ubicada al sur de la Sierra de Misantla, como por ejemplo en Tierra Blanca (caso extremo), o Cosamaloapan.

Las masas tropicales son menos persistentes en la planicie al norte de la Sierra de Misantla, donde además los nortes son más frecuentes (Jauregui y Soto, 1975; Jauregui, 1975; Klauss, 1973), por lo que en esta parte las situaciones bochornosas son menores e incluso se presentan eventuales fríos. Pero es más claro el contraste con sitios francamente en la línea costera, donde no se presentan casos sofocantes o bochornosos prolongados, sino más bien puntuales y alrededor de las 14 horas, como lo mostraron previamente Jauregui y Soto (1967). merced a la ventilación de la brisa marina, cuyos efectos en sitios tierra adentro llegan retrasados y disminuidos (Jauregui et al. 1984).

Así, la realidad se aleja de las condiciones de bienestar térmico en los meses de primavera y verano, más todavía en sitios de la llanura costera y con mayor acento en cuanto sean más sureños.

En las faldas de la sierra se viven mejores condiciones térmicas, con eventuales períodos de bochorno o de frío. La gráfica de IC en Chicontepec es muy ilustrativa.

En sitios medianamente altos no se presentan períodos sofocantes, pero en cambio los días con frío son más recurrentes, como ocurre con Xalapa en comparación con Orizaba y Córdoba. No obstante aun está lejos de la situación francamente fría de Jalacingo, todavía menos drástica que la de Las Vigas. Si tomamos en cuenta que la humedad es alta, habremos de imaginar la elevada sensación de frío en estos sitios gran parte del año.

De este modo, se presentan seis casos diferentes a resolver arquitectónicamente y urbanísticamente si se pretende hacer entrar a estos lugares en la zona de bienestar térmico. Para lograrlo, se puede empezar una evaluación mediante la combinación de datos de humedad y temperatura en diagramas como los de la Figs. 4(A y B).

\* \* \*

Por otra parte, la metodología aquí mostrada permite reconstruir información de confort higrotérmico a partir de datos rutinarios de las estaciones termopluviométricas. Se presentan de tal modo que determinan el grado de bienestar higrotérmico en 22 localidades del estado de Veracruz. Los resultados parciales que fueron inferidos estadísticamente obtuvieron tal grado de ajuste

que son previsibles resultados finales de gran confiabilidad. Sin embargo, debe aceptarse que se trata de simulaciones que no consideran otras variables climáticas como la radiación y el viento, amen de que dejan de lado otros enfoques de evaluación como los que parten de analizar balances energéticos, y tampoco se calcularon otros índices como la temperatura efectiva o la entalpía debido a que el índice de confort como aquí se define, tiene la propiedad de ponderar la humedad y la temperatura y sus órdenes de magnitud son próximos a los de la temperatura ambiente, lo que permite mayor familiaridad al usuario.

También se resalta que la evaluación del confort higrotérmico no solo es útil para los humanos, sino que cada vez es más usado para aumentar la producción ganadera (Johnson y Hahn, 1982; De Dios-Vallejo, et al., 1987).

No está de más insistir en que el modelo aquí propuesto (compuesto fundamentalmente por las Ecs. 2.2, 2.7, 2.8, 2.9, 2.11, 2.12, 2.13, 3.2 y 3.3) tiene una validez local, aunque la metodología puede intentarse para otras regiones.

De los varios aspectos de esta tesis que quedan abiertos para análisis posteriores más detallados, destacan la marcha diaria de la presión de vapor, supuesta constante durante la mañana en la sección 2.3 de este trabajo; el establecimiento de categorías higrotermicas realmente representativas del confort de los habitantes de la zona de estudio, que mejoren los resultados mostrados en el Cap. 4., y en esto se incluye una validación o rectificación de la ecuación del *termopreferendum* (Ec. 4.1) y, posiblemente, la definición de un *Índice de Confort Preferente* y de un *higropreferendum*.

## REFERENCIAS

- Allen, J.C. (1976). A modified sine wave method for calculating degree days. *Environ. Entomol.*, 5: 388-396.
- Beal, H.R. (1974). An operational windchill index. *Atmosphere*, 12: 19-30.
- Berry, F.A., Bollay, E., and Beers, N.R. (1945). "Handbook of meteorology". Mc. Graw-Hill Book Co. New York.
- Boer, W. (1964). "Technische Meteorologie". Teubner Verlagsgesellschaft. Leipzig. (citado por Gregorcuk, 1968).
- Carson, J. E. (1963). Analysis of soil and air temperature by Fourier techniques. *J. Geophys. Res.*, 68: 2217-2232.
- Davis, I.R. (1986). The planning and maintanese of urban settlements to resist extreme climate forces. *Proceedings of the technical conference on Urban Climate (México, 1984)*. WMO No. 652: 237-312.
- De Carmona, L.S. (1986). Human confort in the urban tropics. *Ibidem*: 354-404.
- De Dios Vallejo, O.O., et al (1987). El ganado Holstein en el trópico húmedo mexicano. I. Condiciones meteorológicas por época y circadianas en relación a la producción de leche. *Universidad y Ciencia*, 4: 13-24.
- De Wit, C. T., Goudriaan, J. and van Laar, H. H. (1978). *Simulation of Respiration and Transpiration of Crops*. Pudoc. Wageningen, The Netherlands, 148 pp.
- Fanger, P.O. and Jonassen, N. (1974). Physical parameters of living working quarters of man. *Progress in biometeorology*, (S.W. Tromp, editor). Part I, 1: 129-137.
- Floyd, R. B. and Braddock, R. D., (1984). A simple method for fitting average diurnal temperature curves. *Agric. For. Meteorol.*, 32: 107-119.
- Geiger, R. (1957). "The climate near the ground". Harvard Univ. Press, Cambridge. 494 pp.
- Givoni, B. (1974 A). Biometeorological index. *Progress in biometeorology*, (S.W. Tromp, editor). Part I, 1: 138-145.

- Givoni, B. (1974 B). Prediction of human subjective response to thermal stress. *Progress in biometeorology*. (S.W. Tromp, editor). Part I, 1: 147-152.
- Givoni, B. (1976). "Man, climate and architecture". *Applied Science Publishers*, London.
- Givoni, B. (1986). Design for climate in hot, dry cities. *Proceedings of the technical conference on Urban Climate* (Mexico, 1984). WMO No. 652: 487-513.
- Gregorcuk, M. (1968). Bioclimates of the World related to air enthalpy. *Int. J. Biometeor.*, 12: 35-39.
- Guerrero, M. (1989). "Un modelo exponencial simple de la marcha de la temperatura en la Republica Mexicana". Tesis de Licenciatura. Fac. de Fisica de la Univ. Veracruzana.
- Haltiner, G.J. and Martin, F.L. (1968). "Dynamical and physical meteorology". Instituto del Libro, La Habana, Cuba: 469.
- Hansen, J. E. and Driscoll, D. M. (1977). A mathematical model for the generation of hourly temperatures. *J. Appl. Meteorol.*, 16: 935-948.
- Hernández, E. (1983). A, B, C de la climatización natural mediante uso directo e indirecto de la energía solar. *La revista solar*. No. 6: 6-16.
- Hernández, E. (1985). "Recomendaciones bioclimáticas para la vivienda en la ciudad de México". Edición del autor, México.
- Hernández, E. y Mayer, E., (1984): Recomendaciones de adecuación bioclimática para la Cd. de México: formato ejemplo. *Memorias del Congreso PLEA 84*. Pergamon Press, México. III Tomo.
- Jáuregui, E. (1971). Evaluación del bioclima en dos clínicas de la ciudad de México. *B. Inst. Geogr.*, IV: 23-36.
- Jáuregui, E. (1975). Los sistemas de tiempo en el Golfo de México y su vecindad. *B. Inst. Geogr.*, VI: 7-36.
- Jáuregui, E. et al. (1984). "Aspectos de la circulación de la brisa marina en la planicie costera del sur de Veracruz". Fac. de Fisica de la Univ. Veracruzana.
- Jáuregui, E. and Soto, C. (1967). Wet-bulb temperature and discomfort index areal distribution in Mexico. *Int. J. Biometeor.*, 11: 21-28.

- Jáuregui, E. y Soto, C. (1975). La vertiente del Golfo de México: algunos aspectos fisiográficos y climáticos. *B. Inst. Geogr.*, VI: 37-45.
- Johnson, H.D. and Hahn, G.L. (1982). Climate and animal productivity. *Handbook of Agricultural Productivity*, 2: 3-53.
- Miroslav Richeigl CRC Press Inc. (Citado por DeDios Vallejo et al, 1987).
- Johnson, M. E. and Fitzpatrick, E. A. (1977A). A comparison of two methods of estimating a mean diurnal temperature curve during daylight hours. *Arch. Meteorol. Geophys. Bioklimatol. Ser. B*, 25: 251-263.
- Johnson, M. E. and Fitzpatrick, E. A. (1977B). The monthly mean diurnal temperature curve. *Arch. Meteorol. Geophys. Bioklimatol. Ser. B*, 25: 265-274.
- Kimball, B. A. and Bellamy, L. A. (1986). Generation of diurnal solar radiation, temperature, and humidity patterns. *Energy Agric.*, 5: 185-197.
- Klaus, D. (1973). Las invasiones de aire frío en los trópicos a sotavento de la Montañas Rocallosas. *Geof. Internacional*, 13: 99-143.
- Koenigsberg, et al (1977). "Viviendas y edificios en zonas calidas y tropicales". Ed. Paraninfo, Madrid: 312 pp.
- Landsberg, H.E. (1972). "The assessment of human bioclimate". Tech. Note W.M.O., Nr. 123.
- Landsberg, H.E. (1973). Climate of the urban biosphere, en *Biometeorology: Proceedings of the Second International Bioclimatological Congress*. (Tromp, S.W. Editor). Pergamon Press: 71-83.
- Landsberg, H.E. (1981). "The urban climate". Ac. Press, New York. 277 pp.
- Landsberg, H.E. (1986). Problem of design for cities in the tropics. *Proceedings of the technical conference on Urban Climate (México, 1984)*. WMO No. 652: 461-72.
- Lowry, W.P. (1967). "Weather and Life: An Introduction to Biometeorology". Ac. press: 305 p.
- Lowry, W.P. (1977). Empirical estimation of urban effects on climate. A Problem Analysis. *J. Appl. Met.*, 16: 129-135.

- Matveev, L.I. (1967). "Fundamentals of General meteorology. Physics of the Atmosphere". Israel Program of Scientific Translations. Jerusalem: 699p.
- Munn, R.E. (1970). "Biometeorological Methods". Ac. Press. 335p.
- Nieuwolt, S. (1986). Design for climate in hot humid cities. WMO. No. 652.: 524-534.
- Oke, T.R. (1974). "Review of urban climatology 1968-1973". Tech. Note of WMO Nr. 134.
- Oke, T.R. (1977). "Review of urban climatology 1973-1976". Tech. Note of WMO Nr. 169.
- Olgay, V. (1962). Bioclimatic evaluation method for architectural applications. *Biometeorology: Proceedings of the Second International Bioclimatological Congress*. (Tromp, S.W. Editor). Fergamon Press: 246-61.
- Olgay, V. (1973). "Design with climate". Princeton Univ. Press. New Jersey: 190 pp.
- Parton, W. J. and Logan, J. A.. (1981). A model for diurnal variation in soil and air temperature. *Agric. Meteorol.* 23: 205-216.
- Reicosky, D.C., Winkelman, L. J., Baker, J.M. and Baker, D.G., (1989). Accuracy of hourly air temperatures calculated from daily minima and maxima. *Agric. For. Meteorol.* 46: 193-209.
- Serv. Meteo. Nal. (1982). "Normales climatológicas 1941-1970". México.
- Tanenbaum, J. and Sohar, E. (1960). The significance of cumulative discomfort index as a measure of dialy heat load. *Solar Lab. Techcom.* Israel. (Citado por Jauregui y Soto, 1967).
- Tejeda, A., Acevedo, F y Jauregui, E. (1989). "Atlas climático del estado de Veracruz". Univ. Veracruzana, Colec. Textos Universitarios: 150p.
- Thom, E.C. (1959). Discomfort index. *Weatherwise*, 12: 57-60. (Citado por Lansberg, 1981).
- Tudela, F. (1982). "Ecodiseño". Univ. Aut. Metropolitana: 235p.
- Univ. Aut. de Baja California (1988). "Memorias de la reunión nacional sobre la energía y el confort". Mexicali: 334p.

Wadden, R.A. and Scheffer, P.A. (1987). "Contaminación del aire en interiores", Ed. Limusa, México: 257 p.

Wann, M., Yen, D. and Gold, H.J., (1985). Evaluation and calibration of three models for daily cycle of air temperature. *Agric. For. Meteorol.*, 34: 121-128.